



10523

UNIVERSIDAD NACIONAL
AUTONOMA
DE MEXICO

9

FACULTAD DE ESTUDIOS SUPERIORES
CUAUTITLAN

"SINTESIS Y ESPECTROMETRIA DE MASAS DE DERIVADOS
DE LA 3,3-DIMETIL-2,3,4,5,10,11-HEXAHIODO-8-[*(o*-;*p*-
METOXI) FENOXI]-11-[*(o*-;*p*-R) FENIL]-1H-DIBENZO-
[b,e] [1,4]-DIAZEPIN-1-ONA."

T E S I S
QUE PARA OBTENER EL TITULO DE
Q U I M I C A
P R E S E N T A :
ANA LILIA / VALENCIA CORNEJO

ASEORES: DR. EDUARDO CORTES CORTES
DRA. OLIVIA GARCIA MELLADO

CUAUTITLAN IZCALLI, EDO. MEX.

2003

A



UNAM – Dirección General de Bibliotecas

Tesis Digitales
Restricciones de uso

DERECHOS RESERVADOS ©
PROHIBIDA SU REPRODUCCIÓN TOTAL O PARCIAL

Todo el material contenido en esta tesis está protegido por la Ley Federal del Derecho de Autor (LFDA) de los Estados Unidos Mexicanos (Méjico).

El uso de imágenes, fragmentos de videos, y demás material que sea objeto de protección de los derechos de autor, será exclusivamente para fines educativos e informativos y deberá citar la fuente donde la obtuvo mencionando el autor o autores. Cualquier uso distinto como el lucro, reproducción, edición o modificación, será perseguido y sancionado por el respectivo titular de los Derechos de Autor.



FACULTAD DE ESTUDIOS SUPERIORES CUAUHTITLÁN
UNIDAD DE LA ADMINISTRACIÓN ESCOLAR
DEPARTAMENTO DE EXAMENES PROFESIONALES

ASUNTO: VOTOS APROBATORIOS

UNIVERSIDAD NACIONAL
AUTÓNOMA DE
MÉXICO

DR. JUAN ANTONIO MONTARAZ CRESPO
DIRECTOR DE LA FES CUAUHTITLÁN
P R E S E N T E

ATN: Q. Ma. del Carmen García Mijares
Jefe del Departamento de Exámenes
Profesionales de la FES Cuauhtitlán

Con base en el art. 28 del Reglamento General de Exámenes, nos permitimos comunicar a usted que revisamos la TESIS:

"Síntesis y Espectrometría de Masas de Derivados de la 3,3-dimetil-2,3,4,5,10,11-hexahidro-8-[o-(p-metoxifenoxy)-11-[(o-p-R)fenil]-1b-dibenzo-1b,ell[1,4l-diazepin-1-ona".

que presenta la pasante: Valencia Cornejo Ana Lilia
con número de cuenta: 09501126-6 para obtener el título de:
Química

Considerando que dicho trabajo reúne los requisitos necesarios para ser discutido en el EXAMEN PROFESIONAL correspondiente, otorgamos nuestro VOTO APROBATORIO.

A T E N T A M E N T E

"POR MI RAZA HABLARA EL ESPÍRITU"

Cuauhtitlán Izcalli, Méx. a 8 de enero de 2003

PRESIDENTE Dr. Eduardo Cortés Cortés EC

VOCAL Dr. Enrique Angeles Anquiano EAA

SECRETARIO Q.F.B. Marina L. Morales Galicia MG

PRIMER SUPLENTE Q. Ma. del Rocío Ramírez Salgado DRS

SEGUNDO SUPLENTE M. en C. Juan Carlos Rueda Jackson JCR

D

La presente tesis se realizó en la Facultad de Estudios Superiores Cuautitlán en el L-121 de la Sección de Química Orgánica y en el área de investigación en Síntesis Orgánica Heterocíclica y Espectrometría de Masas, del Instituto de Química de la Universidad Nacional Autónoma de México, bajo la dirección de la Dra. en Química Orgánica Olivia García Mellado y el Dr. en Química Orgánica Eduardo Cortés Cortés, con el apoyo de la Dirección General de Asuntos del Personal Académico (DGAPA), en el Programa de Apoyo a Proyectos de Investigación e Innovación Tecnológica (PAPIIT), proyecto IN204300; y del Programa de Becas para Tesis de Licenciatura en Proyectos de Investigación (PROBETEL).

A mis padres, hermanos, tíos, primos y abuelos por brindarme su comprensión, apoyo y tolerar todas mis locuras.

A mis compañeros de generación (Q 25); en especial a Sandy, Ray, Eva, Alejandro y Esaú (Q 24) por brindarme su amistad.

A la Dra. Olivia García y al Dr. Eduardo Cortés por asesorarme y apoyarme en el transcurso de la elaboración del presente trabajo.

A mis amigos del CCH, Alejandrina, Blanca, Eric y Juan Carlos; porque pese al tiempo que ha transcurrido seguimos siendo unidos y puedo contar con ustedes en todo momento.

A todos mis profesores que contribuyeron en mi formación académica; en especial a dos de ellos que no solo fueron profesores sino amigos Ofelia Vega y Antonio Osornio.

A la memoria de un ser humano maravilloso que constituyó el pilar de mi mundo y fue la responsable de momentos muy felices en mi vida. Gracias abuela por apoyarme y quererme hasta el último momento. Seguirás siendo parte de mí.

A ti, esa persona especial que me comprende, apoya y alienta para seguir adelante. Gracias por todo este tiempo, porque pese a sus inconvenientes me la he pasado muy bien.

ÍNDICE

1.-INTRODUCCIÓN.....	1
2.-ANTECEDENTES.....	3
3.-OBJETIVOS.....	10
4.-PARTE EXPERIMENTAL.....	12
• Ruta general de síntesis.....	13
• Metodología experimental.....	15
5.-RESULTADOS.....	19
• Rendimientos y características físicas de los compuestos I, II y III.....	20
• Rendimientos y características físicas de los compuestos finales.....	21
• Espectroscopía de infrarrojo.....	22
• Resonancia Magnética Nuclear ^1H y ^{13}C	24
• Espectrometría de Masas.....	29
• Espectrometría de Masas de Alta Resolución.....	44
6.-CONCLUSIONES.....	49
7.-ANEXO.....	51
8.-APÉNDICE.....	91
9.-BIBLIOGRAFÍA.....	92

2

INTRODUCCIÓN

INTRODUCCION.

Desde hace algún tiempo los habitantes de la mayor parte del mundo padecen de enfermedades relacionadas con el Sistema Nervioso Central (SNC); tales como ansiedad, tensión, etc. Esto ha dado lugar a que se incremente el interés para sintetizar nuevos fármacos que contribuyan al tratamiento de dichas enfermedades, como son los compuestos 1,4- y 1,5- benzodiazepínicos.

Las benzodiazepinas son compuestos heterocíclicos constituidos por la fusión de un anillo bencénico a una diazepina. Esta familia de compuestos actúan en enfermedades que afectan el Sistema Nervioso Central (SNC), presenta propiedades anticonvulsivas, sedantes y ansiolíticas, entre otras.

Debido a la amplia gama de aplicaciones que se les puede dar a las benzodiazepinas, es que la síntesis de sus derivados se ha hecho tan importante que actualmente el desarrollo de series de benzodiazepinas es muy activa en la industria farmacéutica y en instituciones dedicadas a la investigación.

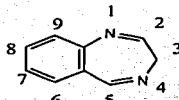
El presente trabajo forma parte de un programa de estudio cuya trascendencia radica en el hecho de sintetizar y determinar propiedades espectroscópicas de nuevos derivados de la [1,4]-dibenzodiazepin-1-ona que pudieran presentar actividad biológica y que de ser posible mejoren las propiedades de aquéllos que están siendo utilizados, reduciendo además los efectos colaterales que estos últimos pudieran provocar.

ANTECEDENTES

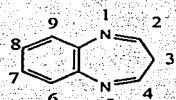
ANTECEDENTES.

Las benzodiazepinas constituyen una amplia familia de compuestos heterocíclicos que se caracterizan por tener en común una estructura cerrada formada por un anillo bencénico fusionado con un anillo heterocíclico de 7 miembros; entre los cuales se encuentran 2 átomos de nitrógeno.¹

Por la posición de los átomos de nitrógeno se clasifican en 1,4 benzodiazepinas (1) y 1,5 benzodiazepinas (2).



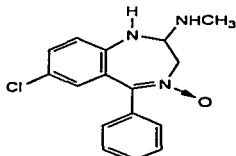
(1)



(2)

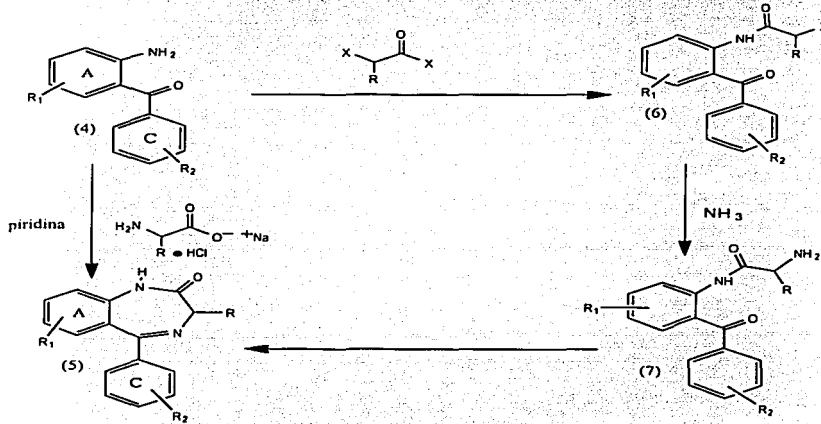
Estos compuestos fueron descubiertos² de forma inesperada a mediados de los 50's como consecuencia de un estudio que tenía el fin de desarrollar nuevas sustancias con acción sobre el Sistema Nervioso Central (SNC); siendo en el año de 1960 cuando se introdujeron clínicamente.

El primer compuesto benzodiazepínico fue sintetizado por Sternbach y colaboradores³ y recibió el nombre de clordiazepóxido (3). A este compuesto se le realizaron estudios y se lograron conocer sus propiedades anticonvulsivas y sedantes.²



(3)

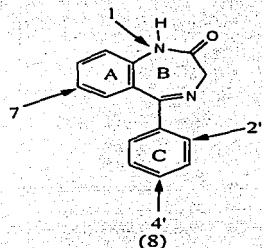
Sternbach trabajó con compuestos derivados de la 1,4-benzodiazepin-2-ona; los cuales fueron sintetizados por 2 métodos. En uno de los métodos, la aminobenzofenona (4) se calienta en piridina con un exceso de clorhidrato de aminoácido para dar lugar a la benzodiazepina (5). En el otro método a partir de la aminobenzofenona (4) se preparan las respectivas haloacetamidas (6), las cuales al reaccionar con amoníaco dan lugar a derivados de aminoacetamida (7) que se ciclizan para dar los derivados de la 1,4-benzodiazepin-2-ona (5).⁴



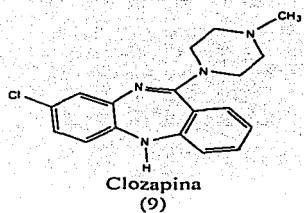
Las benzodiazepinas han constituido una clase de agentes terapéuticos muy importantes; con amplias aplicaciones en tratamientos relacionados con la ansiedad y los desórdenes emocionales.⁵

Comenzando así otros estudios que llevaron a la investigación de nuevos derivados de benzodiazepinas⁴⁻⁹; los cuales con el paso del tiempo demostraron que el patrón de sustitución constituiría un rol importante y tenía efecto sobre la actividad biológica.²

La actividad biológica de este tipo de compuestos se incrementa con grupos electroatractores tales como halógenos y nitrógeno en posición 7 del anillo A, con grupo metilo en posición 1 del anillo B y con halógenos como cloro y flúor en posición 2' del anillo C. Por otra parte, la actividad biológica disminuye con grupos electrodonadores como metilo en posición 7 del anillo A, con sustituyentes ramificados como el terbutilo es inactivo cuando se encuentra en el anillo B y con sustituyentes en posición 4' del anillo C. Todo esto de acuerdo al siguiente esquema (8).

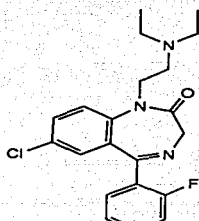


Posteriormente otros cambios sobre la estructura, dieron lugar a la obtención de las 1,5-benzodiazepinas; muchas de las cuales resultaron farmacológicamente activas. Dentro de estas tenemos a la Clozapina (9).

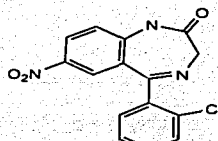


La Clozapina es un neuroléptico (sedante y ansiolítico) que se caracteriza por la alta eficacia en el manejo de la esquizofrenia, además de tener mínimos efectos colaterales.¹⁰⁻¹¹

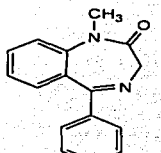
A las benzodiazepinas se les clasifica por su indicación en: ansiolíticos, anticonvulsivos e hipnóticos.¹² Un ejemplo de hipnótico es el flurazepam (10), un anticonvulsivo es el clonazepam (11); mientras que compuestos como el clordiazepóxido (3), diazepam (12), oxazepam (13), clorazepato (14), lorazepam (15) y prazepam (16) se consideran ansiolíticos.¹³



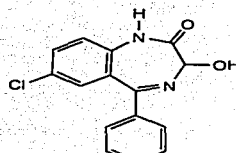
**Flurazepam
(Dalmane, 1970)
(10)**



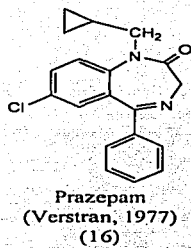
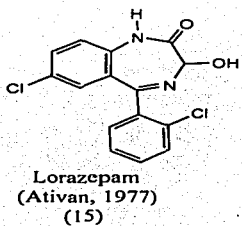
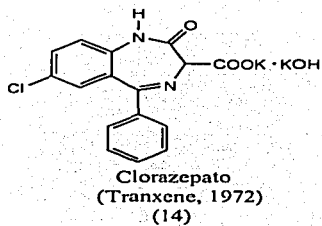
**Clonazepam
(Clonopin, 1975)
(11)**



**Diazepam
(Valium, 1963)
(12)**



**Oxazepam
(Serax, 1965)
(13)**



El uso de las benzodiazepinas no se limita a esto; la obtención de derivados tan variados ha dado lugar a que se les pueda dar otro uso. En la actualidad la estructura básica de las benzodiazepinas se encuentra en compuestos que poseen diferentes actividades biológicas que incluyen la inhibición de la agregación plaquetaria¹⁴, actividad como antibióticos¹⁵⁻¹⁷, en prevención de ataques al corazón¹⁸ y hasta el bloqueo de la acción de proteínas que participan en la replicación del virus VIH.¹⁴

Las benzodiazepinas son activas en el SNC, disminuyen la actividad motora y tienen efectos tranquilizantes; también calman la tensión y alivian el insomnio; la reducción de la ansiedad se acompaña de relajación muscular.¹⁹ A dosis relativamente elevadas provocan somnolencia, por esto es que las benzodiazepinas deben clasificarse además como tranquilizantes y tranquilo-sedantes, ya que producen sedación; por calmar la ansiedad se les denomina ansiolíticos. Son potentes anticonvulsivos, lo cual se observa con el diazepam tanto en convulsiones de origen espiral como el tétanos; así como las de origen cerebral, en el caso de convulsiones infantiles y epilepsia.¹⁹

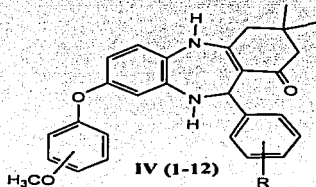
Con frecuencia, las acciones ansiolíticas de las benzodiazepinas se acompañan de efectos colaterales que resultan de sus propiedades sedantes e hipnóticas. Otros efectos colaterales son la fatiga pasajera, mareo, taquicardia, aumento de peso, irregularidad menstrual y depresión.¹⁴ Pero los efectos indeseables más serios surgen a raíz del uso repetido de estas sustancias ya que producen tolerancia y dependencia física y psicológica²⁰, por lo que existen problemas para suspender el tratamiento prolongado. Pese a esto se les considera drogas poco tóxicas y de aquí se deriva que sean de gran uso.

Recientemente E. Cortés y su grupo de investigación²¹⁻²² han informado la síntesis de una gran gama de derivados 1,4 y 1,5 benzodiazepínicos; los cuales han sido caracterizados utilizando técnicas espectroscópicas como EM, RMN H¹, C¹³, IR, etc. Además, se espera que dichos derivados presenten actividad farmacológica; puesto que algunos ya la han presentado.²⁴⁻²⁵

OBJETIVOS

OBJETIVOS.

- 1) Proponer y desarrollar una ruta de síntesis de cuatro pasos con el fin de obtener una serie de nuevos derivados de la 3,3'-dimetil-2,3,4,5,10,11-hexahidro-8-[(o-; p-metoxi)fenoxi]-11-[(o-; p-R)fenil]-1H-dibenzo-[b,e][1,4]-diazepin-1-ona.



Posición del metoxilo

	R
<i>o</i> -OCH ₃	<i>o</i> -CH ₃
<i>o</i> -OCH ₃	<i>p</i> -CH ₃
<i>o</i> -OCH ₃	<i>o</i> -Cl
<i>o</i> -OCH ₃	<i>p</i> -Cl
<i>o</i> -OCH ₃	<i>o</i> -OCH ₃
<i>o</i> -OCH ₃	<i>p</i> -OCH ₃
<i>p</i> -OCH ₃	<i>o</i> -CH ₃
<i>p</i> -OCH ₃	<i>p</i> -CH ₃
<i>p</i> -OCH ₃	<i>o</i> -Cl
<i>p</i> -OCH ₃	<i>p</i> -Cl
<i>p</i> -OCH ₃	<i>o</i> -OCH ₃
<i>p</i> -OCH ₃	<i>p</i> -OCH ₃

- 2) Caracterizar tanto los productos finales como los intermediarios utilizando la técnica de Espectrometría de Masas, y los derivados de la [1,4]-dibenzodiazepin-1-ona por Espectrometría de Masas, Resonancia Magnética Nuclear ¹H y ¹³C (RMN-¹H, ¹³C), experimentos bidimensionales y Espectroscopía de Infrarrojo.
- 3) Proponer el patrón general y mecanismos de fragmentación de los productos finales con la ayuda de la Espectrometría de Masas, empleando experimentos de Alta Resolución y Disociación Inducida por Colisión (CID).

PARTE EXPERIMENTAL

RUTA GENERAL DE SÍNTESIS.

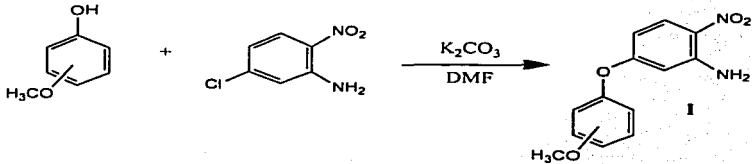
La ruta de síntesis de derivados de la 3,3-dimetil-2,3,4,5,10,11-hexahidro-8-[(o-; p-metoxi)fenoxi]-11-[(o-; p-R)fenil]-1H-dibenzo-[b,c][1,4]-diazepin-1-ona, se desarrolló en cuatro pasos.

En el primer paso se efectúa la sustitución del cloro de la 5-cloro-2-nitroanilina por el grupo fenoxi sustituido para darnos el compuesto I; este compuesto se somete a una reducción de grupo nitro mediante hidrogenación catalítica empleando Pd/C al 10% como catalizador, para obtener una diamina (II).

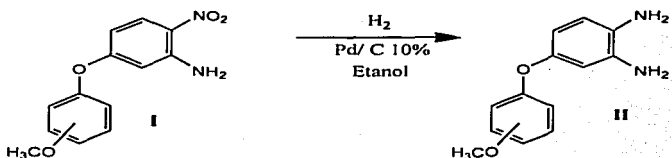
En el tercer paso se lleva a cabo la condensación de la diamina con la dimedona para obtener el compuesto III. En el cuarto paso, el intermediario III es condensado nuevamente y ciclizado con los R-aldehídos para obtener los derivados de la 3,3-dimetil-2,3,4,5,10,11-hexahidro-8-[(o-; p-metoxi)fenoxi]-11-[(o-; p-R)fenil]-1H-dibenzo-[b,c][1,4]-diazepin-1-ona, IV (I-12)²³.

Ruta General de Síntesis

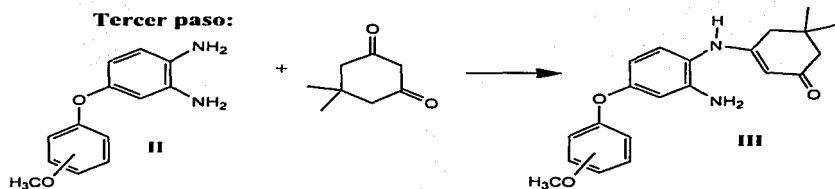
Primer paso:



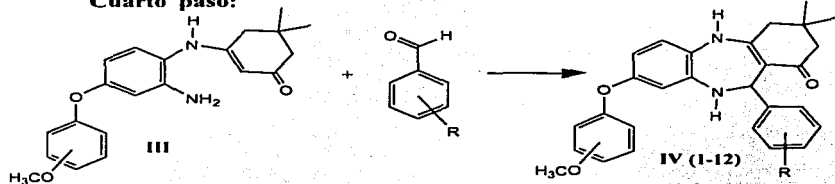
Segundo paso:



Tercer paso:

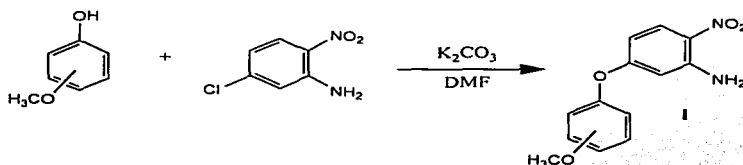


Cuarto paso:



METODOLOGÍA EXPERIMENTAL.

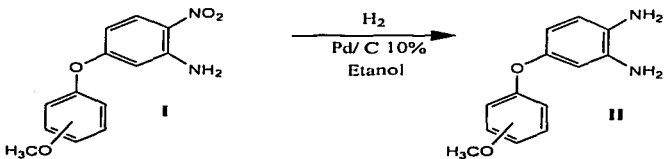
Obtención de 5-[(o-; p-metoxi)fenoxi]-2-nitroanilina.



En un matraz bola de dos bocas de 100 ml equipado con refrigerante en posición de reflujo, agitación magnética y calentamiento se colocan 12.4×10^{-3} mol del correspondiente (o-; p-metoxi)fenol, 12.4×10^{-3} mol de 5-cloro-2-nitroanilina y 12.4×10^{-3} mol de carbonato de potasio anhídrido disuelto en 20 ml de N,N-dimetilformamida anhidra, se calienta hasta temperatura de reflujo, 10 minutos después de haber alcanzado el reflujo se adicionan 20 ml más de DMF y se deja a esa temperatura durante 5 horas más. La conclusión de la reacción se monitorea por cromatografía en capa fina.

Transcurrido este tiempo se retira el calentamiento y se enfria exteriormente con baño de hielo, se adicionan 30 ml de agua helada y se observa la aparición de un precipitado de color amarillo después de lo cual se procede a filtrar a vacío, se lava el sólido con agua y se seca a vacío el sólido (I) para posteriormente determinar el punto de fusión.

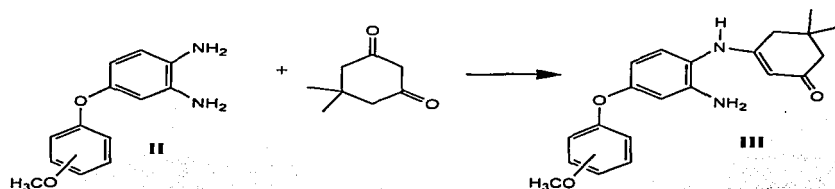
Obtención de compuestos 4-[(*o*-; *p*-metoxi)fenoxi]-1,2-fenilendiamina.



Se pesan 160 mg de Pd/C (10%) y se prehidrogenan durante 50 minutos en 10 ml de etanol anhídrico a 60 lb/plg², en un dispositivo especial para hidrogenación. Mientras tanto se toman 3×10^{-3} mol de la correspondiente 5-[(*o*-; *p*-metoxi)fenoxi]-2-nitroanilina (**I**) y se disuelven en la mínima cantidad de etanol anhídrico. Una vez concluida la prehidrogenación del catalizador, se retira la botella del hidrogenador y cuidadosamente se adiciona la disolución a hidrogenar, la botella se coloca una vez más en el hidrogenador y se deja reaccionando con agitación durante 24 horas para lograr la reducción del grupo nitró. La reacción se monitorea por medio de cromatografía en capa fina.

Concluido el tiempo de hidrogenación se filtra sobre celita para remover el catalizador y se recupera el producto por destilación a presión reducida con agitación magnética. El producto (**II**) obtenido se seca a alto vacío durante 5 horas.

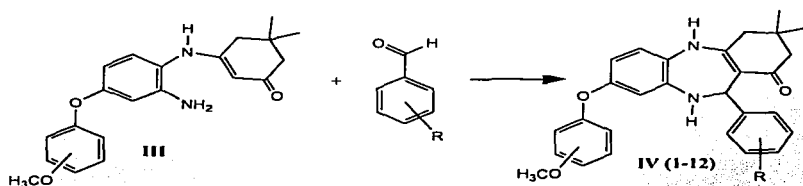
Obtención de la 3-{4-[*(o*- p-metoxi)fenoxi]-1,2-fenilendiamina}-5,5-dimetil-2-ciclohexenona.



En un matraz de dos bocas de 100 ml equipado con refrigerante en posición de reflujo con agitación magnética, calentamiento y un aparato Dean-Stark, se colocan 1×10^{-2} mol de dimedona y 1×10^{-2} mol de 4-[*(o*- p-metoxi)fenoxi]-1,2-fenilendiamina (III), en 20 ml de benceno a reflujo durante 24 hrs.

Transcurrido este tiempo, se concentra a sequedad a presión reducida, el producto obtenido se purifica por medio de lavados con hexano-AcOEt. Se obtiene un sólido (III) al que se le determina punto de fusión.

Obtención de la 3,3-dimetil-2,3,4,5,10,11-hexahidro-8-[(o-; p-metoxi)fenoxi]-11-[(o-; p-R)-fenil]-1H-dibenzo-[b,e][1,4]-diazepin-1-ona.



En un matraz de dos bocas de 50 ml equipado con refrigerante en posición de refluxo, con agitación magnética y calentamiento se colocan 1×10^{-3} mol de la correspondiente 3-{4-[(o-; p-metoxi)fenoxi]-1,2-fenilendiamina}-5,5-dimetil-2-ciclohexenona (**III**) y 1×10^{-3} mol de (o-; p)-R-aldehido, en 10 ml de etanol y 0.5 ml de ácido acético glacial, la mezcla de reacción se refluye durante un intervalo de tiempo entre dos y cuatro horas. La reacción se sigue por cromatografía en capa fina hasta el termino de la reacción. Posteriormente se concentra la mezcla de reacción a presión reducida y el producto (**IV**) obtenido se purifica mediante lavados con hexano-AcOEt. Al sólido obtenido se le determina el punto de fusión.

RESULTADOS

RENDIMIENTOS Y CARACTÉRISTICAS FÍSICAS DE LOS COMPUESTOS I, II y III.

Paso 1. Obtención de 5-[(o-; p-metoxi)fenoxi]-2-nitroanilina (I)

Se obtuvieron sólidos de color amarillo con rendimientos que van desde 96 hasta 99%.

Compuesto	Posición de metoxilo	Peso Molecular	Rendimiento %	Aspecto Físico	P.f. °C
I	o-OCH ₃	260	96	Sólido Amarillo	131-132
2	p-OCH ₃	260	99	Sólido amarillo	168-170

Paso 2. Obtención de compuestos 4-[(o-; p-metoxi)fenoxi]-1,2-fenilendiamina (II)

Los productos obtenidos en este paso fueron semisólidos de color naranja con rendimientos que van desde un 72 hasta un 85%.

Compuesto	Posición de metoxilo	Peso Molecular	Rendimiento %	Aspecto Físico	P.f. °C
I	o-OCH ₃	230	85	Semisólido naranja	-----
2	p-OCH ₃	230	72	Semisólido naranja	-----

Paso 3. Obtención de la 3-{4-[(o-; p-metoxi)fenoxi]-1,2-fenilendiamina}-5,5-dimetil-2-ciclohexenona.(III)

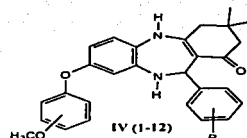
Se obtuvieron sólidos de color café con rendimientos del 72-78%.

Compuesto	Posición de metoxilo	Peso Molecular	Rendimiento %	Aspecto Físico	P.f. °C
I	o-OCH ₃	352	72	Sólido café	83-86
2	p-OCH ₃	352	78	Sólido café	66-68

RENDIMIENTOS Y CARACTERÍSTICAS FÍSICAS DE LOS COMPUESTOS FINALES.

Los compuestos finales, derivados de la 3,3-dimetil-2,3,4,5,10,11-hexahidro-8-[(o;-p-metoxi)fenoxi]-11-[(o;-p-R)fenil]-1H-dibenzo-[b,e][1,4]-diazepin-1-ona, se obtuvieron como sólidos coloridos con puntos de fusión definidos. En la siguiente tabla se muestran las características de los nuevos compuestos.

TABLA 1. Características físicas y rendimientos de los derivados de la 3,3-dimetil-2,3,4,5,10,11-hexahidro-8-[(o;-p-metoxi)fenoxi]-11-[(o;-p-R)fenil]-1H-dibenzo-[b,e][1,4]-diazepin-1-ona.



Compuesto	Posición de Metoxilo	R	Peso Molecular	Rendimiento %	Aspecto físico	P.f. °C
1	o-CH ₃ O	o-CH ₃	454	90	Sólido color café-rojizo	106-108
2	o-CH ₃ O	p-CH ₃	454	93	Sólido color café-rojizo	101-103
3	o-CH ₃ O	o-Cl	474	91	Sólido color café-rojizo	115-116
4	o-CH ₃ O	p-Cl	474	90	Sólido color Naranja	112-114
5	o-CH ₃ O	o-OCH ₃	470	87	Sólido color Café rojizo	77-79
6	o-CH ₃ O	p-OCH ₃	470	79	Sólido color café-rojizo	82-84
7	p-CH ₃ O	o-CH ₃	454	98	Sólido color café-rojizo	80-82
8	p-CH ₃ O	p-CH ₃	454	91	Sólido color café-rojizo	118-120
9	p-CH ₃ O	o-Cl	474	98	Sólido color café-rojizo	94-96
10	p-CH ₃ O	p-Cl	474	82	Sólido color café-rojizo	131-133
11	p-CH ₃ O	o-OCH ₃	470	76	Sólido color Amarillo	194-196
12	p-CH ₃ O	p-OCH ₃	470	78	Sólido color café-rojizo	126-128

ESPECTROSCOPIA DE INFRARROJO.

Todos los espectros de Infrarrojo fueron realizados en disolución con CHCl_3 con excepción de los compuestos 7 y 9, los cuales fueron realizados en película. En la Tabla 2 se muestran las absorciones en IR de cada uno de los compuestos finales.

TABLA 2. Bandas de absorción en cm^{-1} de IR del derivado de la 3,3-dimetil-2,3,4,5,10,11-hexahidro-8-[(o-metoxi)fenoxi]-11-[(o-metilo)fenil]-1H-dibenzo-[b,e][1,4]-diazepin-1-ona. Pág. 55

Compuesto	$\sqrt{\text{cm}^{-1}}$					
	1 -OCH ₃	2 o-OCH ₃	3 o-OCH ₃	4 o-OCH ₃	5 o-OCH ₃	6 o-OCH ₃
R	o-CH ₃	p-CH ₃	o-Cl	p-Cl	o-OCH ₃	p-OCH ₃
N-H	3415	3415	3414	3414	3416	3409
=C-H	3053	3049	3062	3061	3059	3042
C-H	2837	2870	2841	2840	2840	2833
C=O	1620	1619	1619	1619	1620	1616
C=C	1596 1522	1596 1523	1598 1523	1597 1524	1599 1524	1595 1521
C-N	1371 1313	1371 1319	1371 1309	1370 1313	1373 1320	1368 1318
C-O	1261 1116	1261 1116	1261 1115	1263 1114	1259 1116	1260 1111

TABLA 2. (Continuación) Bandas de absorción en cm^{-1} de IR de los derivados de la 3,3-dimetil-2,3,4,5,10,11-hexahidro-8-[(o-; p-metoxi)fenoxi]-11-[(o-; p-R)fenil]-1H-dibenzo-[b,c][1,4]-diazepin-1-ona.

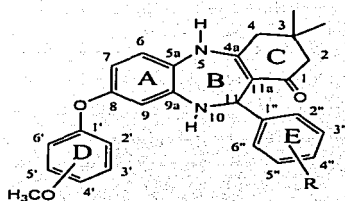
Compuesto	$\sqrt{\text{cm}^{-1}}$					
	7	8	9	10	11	12
-OCH ₃	p-OCH ₃	p-OCH ₃	p-OCH ₃	p-OCH ₃	p-OCH ₃	p-OCH ₃
R	o-CH ₃	p-CH ₃	o-Cl	p-Cl	o-OCH ₃	p-OCH ₃
N-H	3416	3416	3415	3415	3416	3416
=C-H	3052	3062	3058	3048	3061	3055
C-H	2843	2871	2842	2838	2839	2838
C=O	1620	1619	1620	1619	1619	1619
C=C	1597 1524	1596 1526	1597 1527	1596 1525	1597 1524	1597 1525
C-N	1371 1318	1370 1319	1371 1320	1370 1315	1372 1320	1371 1325
C-O	1267 1116	1268 1112	1268 1116	1268 1112	1265 1114	1265 1117

ESPECTROSCOPIA DE RESONANCIA MAGNÉTICA NUCLEAR ^1H y ^{13}C .

En la Tabla 3 se presentan los desplazamientos químicos en ppm de ^1H ; mientras que en la Tabla 4 se muestran los desplazamientos químicos de ^{13}C de cada uno de los compuestos sintetizados.

Se utilizó CDCl_3 como disolvente; para efectuar los espectros de RMN. Para corroborar la asignación de las diferentes señales de RMN ^1H y ^{13}C se utilizaron técnicas bidimensionales como COSY (en el caso de señales de hidrógeno); HETCOR, FLOCK y APT ó DEPT (para el caso de señales de carbono).

A continuación se presenta la estructura numerada para las tablas 3 y 4.



$-\text{OCH}_3 = \text{o-OCH}_3; \text{p-OCH}_3$

$\text{R} = \text{o-CH}_3; \text{p-CH}_3; \text{o-Cl}; \text{p-Cl}; \text{o-OCH}_3; \text{p-OCH}_3$

TABLA 3. Desplazamientos químicos en ppm; así como constantes de acoplamiento en Hz de RMN ^1H de derivados de la 3,3-dimetil-2,3,4,5,10,11-hexahidro-8-[(α -; β -metoxi)fenoxi]-11-[(α -; β -R)fenil]-1H-dibenzo-[b,e][1,4]-diazepin-1-ona. Espectros de RMN ^1H : Págs. 56-58, 67, 70, 71, 77.

Compuesto	1	2	3	4	5	6
$-\text{OCH}_3$	o-OCH_3	o-OCH_3	o-OCH_3	o-OCH_3	o-OCH_3	o-OCH_3
R	o-CH_3	p-CH_3	o-Cl	p-Cl	o-CH_3	p-CH_3
H _{2a} ; H _{2b} (d)	2.25; 2.15 $J = 16.3$	2.28; 2.19 $J = 16.2$	2.31; 2.23 $J = 16.2$	2.29; 2.20 $J = 16.5$	2.32; 2.27 $J = 16.5$	2.30; 2.21 $J = 16.2$
H _{4a} ; H _{4b} (d)	2.57; 2.45 $J = 15.6$	2.55; 2.40 $J = 15.8$	2.61; 2.49 $J = 15.8$	2.56; 2.42 $J = 16.2$	2.59; 2.45 $J = 15.6$	2.55; 2.38 $J = 15.9$
H ₆ (d)	6.76 $J = 8.7$	6.73 $J = 8.6$	6.69 $J = 8.6$	6.70 $J = 8.4$	6.67 $J = 8.8$	6.68 $J = 8.4$
H ₇ (d,d)	6.34 $J = 8.5; 2.4$	6.35 $J = 8.6; 2.5$	6.34 $J = 8.6; 2.5$	6.39 $J = 8.5; 2.4$	6.30 $J = 8.5; 2.5$	6.38 $J = 8.7; 2.7$
H ₉ (d)	5.95 $J = 2.5$	6.03 $J = 2.5$	6.10 $J = 2.5$	6.01 $J = 2.7$	6.00 $J = 2.7$	6.04 $J = 2.7$
H ₁₁ (s)	6.10	5.86	6.20	5.85	6.14	5.86
H _{3'} (d,d)	7.50 $J = 8.0; 1.2$	7.14 $J = 7.8; 1.2$	7.33 $J = 8.1; 1.4$	7.03 $J = 8.0; 1.5$	7.14 $J = 8.1; 1.2$	6.94 $J = 8.1; 1.5$
H _{4'} (d,t)	7.03 $J = 6.5; 1.1$	7.03 $J = 7.7; 1.6$	7.02 $J = 7.4; 1.4$	6.92 $J = 7.7; 1.5$	7.02 $J = 7.5; 1.4$	7.03 $J = 7.8; 1.5$
H _{5'} (d,t)	6.80 $J = 7.4; 1.2$	6.80 $J = 7.7; 1.5$	6.79 $J = 6.9; 1.6$	6.85 $J = 7.7; 1.5$	6.79 $J = 6.9; 1.5$	6.82 $J = 7.7; 1.5$
H _{6'} (d,d)	6.49 $J = 7.9; 1.4$	6.60 $J = 7.9; 1.5$	6.49 $J = 7.9; 1.7$	6.63 $J = 7.9; 1.5$	6.45 $J = 7.6; 1.5$	6.63 $J = 7.9; 1.5$
H ₃₋ (d,d)	7.57 $J = 7.3; 1.3$	-	7.39 $J = 6.5; 1.6$	- $J = 7.0; 1.3$	7.15 $J = 7.0; 1.3$	-
H ₄₋ (d,t)	7.26 $J = 6.4; 1.2$	-	7.26 $J = 7.8; 1.2$	- $J = 7.4; 1.2$	7.00 $J = 7.0; 1.4$	-
H ₅₋ (d,t)	6.91 $J = 7.1; 1.4$	-	7.01 $J = 6.9; 1.5$	- $J = 6.6; 1.4$	6.76 $J = 7.0; 1.4$	-
H ₆₋ (d,d)	6.97 $J = 7.9; 1.4$	-	6.92 $J = 8.4; 1.4$	- $J = 8.4; 1.4$	6.66 $J = 8.4; 1.4$	-
H ₂₋ ; H ₆₋	-	6.90 (s)	-	7.08 (AA'BB') $J = 8.4$	-	6.95 (AA'BB') $J = 8.7$
H ₃₋ ; H ₅₋	-	6.90 (s)	-	6.96 (AA'BB') $J = 8.7$	-	6.62 (AA'BB') $J = 8.7$
C ₂₋ -OCH ₃ (s)	3.72	3.74	3.75	3.74	3.79	3.72
C ₃ (CH ₃) ₂ (s)	1.09; 1.03	1.08; 1.03	1.14; 1.11	1.12; 1.05	1.14; 1.12	1.12; 1.06
C ₂₋ -CH ₃ (s)	2.48	-	-	-	-	-
C ₄₋ -CH ₃ (s)	-	2.19	-	-	-	-
C ₂₋ -OCH ₃ (s)	-	-	-	-	3.76	-
C ₄₋ -OCH ₃ (s)	-	-	-	-	-	3.70
N-III (bs)	6.64	6.31	-	6.69	7.24	7.22

*Espectros a 300MHz.

^bLos valores de las constantes de acoplamiento, (J) están dados en Hz.

TABLA 3. (Continuación) Desplazamientos químicos en ppm; así como constantes de acoplamiento en Hz de RMN ¹H de derivados de la 3,3-dimetil-2,3,4,5,10,11-hexahidro-8-[(α -; p-metoxi)fenoxi]-11-[(α -; p-R)fenil]-1H-dibenzo-[b,c][1,4]-diazepin-1-ona.

Compuesto	δ ppm					
	7	8	9	10	11	12
-OCH ₃	p-OCH ₃	p-OCH ₃	p-OCH ₃	p-OCH ₃	p-OCH ₃	p-OCH ₃
R	α -CH ₃	p-CH ₃	α -Cl	p-Cl	α -OCH ₃	p-OCH ₃
H _{2a} ; H _{2b} (d)	2.28; 2.18 J = 16.2	2.29; 2.20 J = 16.2	2.32; 2.23 J = 16.2	2.30; 2.21 J = 16.2	2.2; 2.11 J = 16.1	2.29; 2.20 J = 16.5
H _{4a} ; H _{4b} (d)	2.61; 2.48 J = 15.6	2.55; 2.40 J = 15.9	2.61; 2.48 J = 15.6	2.55; 2.42 J = 15.9	2.61; 2.51 J = 15.9	2.53; 2.38 J = 15.9
H ₆ (d)	6.76 J = 8.8	6.69 J = 8.7	6.67 J = 8.7	6.71 J = 8.1	6.89 J = 8.1	6.69 J = 8.7
H ₇ (d,d)	6.32	6.32	6.29	6.35	6.19	6.33
H ₉ (d)	J = 8.7; 2.4	J = 8.4; 2.4	J = 8.4; 2.4	J = 8.6; 2.4	J = 7.4; 2.7	J = 8.6; 2.4
H ₁₁ (s)	5.93 J = 2.4	6.03 J = 2.4	6.07 J = 2.7	6.0 J = 2.7	6.0 J = 2.4	6.02 J = 2.7
H ₁₂ (s)	6.10	5.86	6.21	5.85	5.94	5.85
H _{2'} ; H _{6'} (AA'BB')	6.76 J = 9.0	6.78 J = 9.0	6.78 J = 9.1	6.81 J = 9.0	6.81 J = 9.0	6.79 J = 9.3
H _{3'} ; H _{5'} (AA'BB')	6.63 J = 9.3	6.70 J = 9.3	6.64 J = 9.3	6.70 J = 9.0	6.61 J = 9.0	6.69 J = 9.3
H _{3'} (d,d)	7.07 J = 6.9; 1.2	-	7.28 J = 10.5	-	6.86 J = 7.8	-
H _{4'} (d,t)	6.98 J = 7.1; 1.2	-	7.04 J = 7.7; 1.5	-	7.09 J = 6.9; 1.8	-
H _{5'} (d,t)	6.82 J = 7.1; 1.3	-	6.91 J = 7.2; 1.2	-	6.87 J = 7.3; 1.8	-
H _{6'} (d,d)	6.63 J = 7.9; 1.8	-	6.77 J = 10.2; 1.8	-	6.81 J = 9.3; 1.8	-
H _{2''} ; H _{6''}	-	6.92 (s)	-	7.09 (AA'BB') J = 8.4	-	6.95 (AA'BB') J = 8.1
H _{3''} ; H _{5''}	-	6.92 (s)	-	6.95 (AA'BB') J = 8.4	-	6.66 (AA'BB') J = 8.1
C ₄ -OCH ₃ (s)	3.77	3.77	3.77	3.77	3.83	3.77
C ₅ (CH ₃) ₂ (s)	1.13; 1.07	1.11; 1.05	1.15; 1.12	1.11; 1.05	1.13; 1.12	1.10; 1.05
C ₂ -CH ₃ (s)	2.51	-	-	-	-	-
C ₄ -CH ₃ (s)	-	2.22	-	-	-	-
C ₂ -OCH ₃ (s)	-	-	-	-	3.74	-
C ₄ -OCH ₃ (s)	-	-	-	-	-	3.69
N-H (bs)	6.72	9.96	6.73	6.85	8.8	7.26

^aEspecios a 300Mhz.

^bLos valores de las constantes de acoplamiento, (J) están dados en Hz.

TABLA 4. Desplazamientos químicos en ppm de RMN ^{13}C de derivados de la 3,3-dimetil-2,3,4,5,10,11-hexahidro-8-[(o- p-metoxi)fenoxi]-11-[(o- p-R)fenil]-1H-dibenzo-[b,e][1,4]-diazepin-1-ona. Espectros de RMN ^{13}C : Págs. 59-66, 68, 69, 72-76.

Compuesto	1	2	3	4	5	6
-OCH ₃	o-OCH ₃	o-OCH ₃	o-OCH ₃	o-OCH ₃	o-OCH ₃	o-OCH ₃
R	o-CH ₃	p-CH ₃	o-Cl	p-Cl	o-CH ₃	p-OCH ₃
C ₁	193.9	193.8	193.6	193.7	193.6	193.6
C ₂	49.7	49.7	49.6	49.7	49.8	49.7
C ₃	32.3	32.2	32.3	32.3	32.3	32.3
C ₄	46.1	46.1	46.2	46.3	46.2	46.3
C _{4b}	153.9	153.7	154.6	154.0	156.8	158.1
C _{5a}	127.5	126.8	127.1	126.5	130.0	126.8
C ₆	120.8	121.0	120.8	121.0	119.8	120.9
C ₇	111.7	111.3	112.0	111.4	111.6	111.3
C ₈	153.3	153.4	153.4	153.5	154.4	153.5
C ₉	111.2	111.2	111.3	110.9	111.3	111.2
C _{9b}	141.2	140.6	138.6	138.2	139.6	138.6
C ₁₁	55.3	57.8	56.0	57.6	53.9	57.5
C _{11a}	111	110.8	109.3	110.4	110.2	111.1
C _{1'}	153.3	153.7	145.9	153.4	153.2	153.0
C _{2'}	150.4	150.5	150.4	150.8	150.5	150.6
C _{3'}	131.1	129.6	129.6	124.3	129.9	128.2
C _{4'}	130.5	123.9	123.9	112.7	123.8	123.9
C _{5'}	125.2	120.8	127.6	121.0	120.9	120.8
C _{6'}	118.9	119.2	118.9	119.8	119.0	119.7
C _{1''}	146.1	135.9	133.6	145.6	146.3	145.9
C _{2''}	138.3	128.8	139.8	128.2	139.7	128.2
C _{3''}	129.7	127.0	129.6	128.5	128.0	113.5
C _{4''}	129.7	129.5	129.6	142.3	128.5	136.0
C _{5''}	112.5	127.0	128.2	128.5	124.2	113.5
C _{6''}	126.7	128.8	126.2	128.2	126.9	128.2
C _{3(ClI)₂}	28.5; 27.8	28.7; 27.7	28.5; 28.1	28.6; 27.8	28.7; 28.1	28.7; 27.8
C ₂₋ OCH ₃	55.8	55.8	55.8	55.9	55.8	55.8
C ₂₋ OCH ₃	-	-	-	-	55.2	-
C ₄₋ OCH ₃	-	-	-	-	-	55.0
C ₂₋ CII ₁	19.5	-	-	-	-	-
C ₄₋ CII ₃	-	20.9	-	-	-	-

TABLA 4. (Continuación) Desplazamientos químicos en ppm de RMN ^{13}C de derivados de la 3,3-dimetil-2,3,4,5,10,11-hexahidro-8-[$(\text{o}-$; p -metoxi)fenoxi]-11-[$(\text{o}-$; p -R)fenil]-1H-dibenzo-[b,e][1,4]-diazepin-1-ona.

Compuesto	7	8	9	10	11	12
$-\text{OCH}_3$	p-OCH ₃					
R	o-CH ₃	p-CH ₃	o-Cl	p-Cl	o-OCH ₃	p-OCH ₃
C ₁	193.9	193.8	193.7	193.8	191.7	193.7
C ₂	49.7	49.7	49.7	49.6	49.5	49.7
C ₃	32.4	32.3	32.3	32.3	31.7	32.2
C ₄	46.2	46.2	46.1	46.2	44.2	46.1
C _{4a}	155.3	155.4	155.4	155.5	156.5	155.4
C _{5a}	127.3	126.7	126.9	126.6	127.0	126.8
C ₆	120.9	121.0	120.9	121.1	120.8	121.0
C ₇	111.8	111.3	111.9	111.7	110.1	111.4
C ₈	153.9	153.7	154.2	153.8	154.5	153.6
C ₉	111.4	111.3	111.3	111.4	109.8	111.3
C _{9a}	135.2	135.9	133.6	132.2	130.8	136.0
C ₁₁	55.4	57.8	56.1	57.6	52.6	57.6
C _{11a}	111.0	110.9	109.2	110.2	108.4	110.9
C ₁ '	154.0	154.1	154.8	154.4	155	154.1
C ₂ '	114.6	114.6	114.6	114.8	114.3	114.6
C ₃ '	119.4	119.6	119.5	119.7	119.0	119.6
C ₄ '	150.8	150.8	150.7	150.7	150.4	150.8
C ₅ '	119.4	119.6	119.5	119.7	119.0	119.6
C ₆ '	114.6	114.6	114.6	114.8	114.3	114.6
C ₁ ''	141.1	140.6	139.8	142.3	140.0	138.7
C ₂ ''	138.4	127.0	138.8	128.3	139.9	128.1
C ₃ ''	130.6	128.9	129.6	128.5	127.0	113.4
C ₄ ''	126.7	138.7	128.2	138.3	127.5	136.0
C ₅ ''	125.2	128.9	126.2	128.5	126.5	113.4
C ₆ ''	125.7	127.0	127.6	128.3	126.6	128.1
C _{1(CH_3)_2}	28.6; 27.9	28.7; 27.8	28.5; 28.1	28.6; 27.8	28.3; 27.7	28.7; 27.7
C ₄ --OCH ₃	55.6	55.6	55.6	55.6	54.9	55.5
C ₂ --OCH ₃	-	-	-	-	55.1	-
C ₄ --OCH ₃	-	-	-	-	-	55.0
C ₂ --CH ₃	19.6	-	-	-	-	-
C ₃ --CH ₃	-	21.0	-	-	-	-

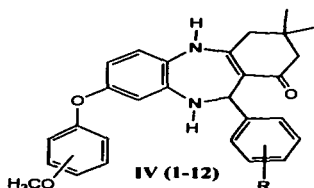
ESPECTROMETRÍA DE MASAS.

Los compuestos sintetizados se caracterizaron mediante Espectrometria de Masas; revelando que todos los derivados presentan el mismo patrón de fragmentación. En todos los casos el pico base es el fragmento $[M-(76+R)]^+$.

Mediante un análisis de la Espectrometria de Masas de Alta Resolución y Disociación Inducida por Colisión (CID), se logró establecer la procedencia y estructura de los fragmentos más importantes y con ello, proponer los mecanismos de fragmentación para los nuevos derivados de la 3,3-dimetil-2,3,4,5,10,11-hexahidro-8-[(o-; p-metoxi)fenoxi]-11-[(o-; p-R)fenil]-1H-dibenzo-[b,e][1,4]-diazepin-1-ona.

En la Tabla 5 se presentan los iones más significativos; así como su abundancia relativa en %.

TABLA 5. Abundancia relativa de los fragmentos más importantes en los espectros de masas de los derivados de la 3,3-dimetil-2,3,4,5,10,11-hexahidro-8-[(*o*-; *p*-metoxi)fenoxi]-11-[(*o*-; *p*-R)fenil]-1H-dibenzo-[b,c][1,4]-diazepin-1-ona. Espectros de Masas: Págs. 78-90



Compuestos	1	2	3	4	5	6
$-\text{OCH}_3$	o-OCH_3	o-OCH_3	o-OCH_3	o-OCH_3	o-OCH_3	o-OCH_3
R	o-CH_3	p-CH_3	o-Cl	p-Cl	o-OCH_3	p-OCH_3
M^+	43	47	36	46	60	68
$[\text{M}-\text{I}]^+$	12	17	5	8	11	31
$[\text{M}-\text{H}]^+$						
$[\text{M}-15]^+$	19	7	4	4	9	12
$[\text{M}-\text{CH}_3]^+$						
$[\text{M}-16]^+$	11	6	10	6	11	8
$[\text{M}-\text{NH}_2]^+$						
$[\text{M}-\text{R}]^+$	-	-	21	-	29	-
$[\text{M}-\text{H}\text{R}]^+$	-	-	6	-	25	-
$[\text{M}-(\text{NH}_2+\text{R})]^+$	-	-	13	-	80	-
$[\text{M}-57]^+$	4	6	3	5	3	9
$[\text{M}-(\text{C}_2\text{H}_5)]^+$	6	8	4	6	4	10
$[\text{M}-84]^+$						
$[\text{M}-(\text{C}_2\text{H}_5\text{O})]^+$	3	6	2	5	1	8
$[\text{M}-85]^+$						
$[\text{M}-(\text{C}_2\text{H}_5\text{O})]^+$	100	100	100	100	100	100
$[\text{M}-(76+\text{R})]^+$						
$[\text{M}-(\text{o+R})]^+$	330	15	22	-	-	-
	83	6	4	6	6	10

TABLA 5. (Continuación) Abundancia relativa de los fragmentos más importantes en los espectros de masas de los derivados de la 3,3-dimetil-2,3,4,5,10,11-hexahidro-8-[(o-; p-metoxi)fenoxi]-11-[(o-; p-R)fenil]-1H-dibenzo-[b,c][1,4]-diazepin-1-ona.

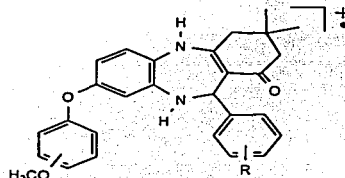
Compuestos	7	8	Abundancia Relativa	9	10	11	12
-OCH ₃	p-OCH ₃	p-OCH ₃		p-OCH ₃	p-OCH ₃	p-OCH ₃	p-OCH ₃
R	o-CH ₃	p-CH ₃		o-Cl	p-Cl	o-OCH ₃	p-OCH ₃
M'	58	49		35	38	52	58
[M-1] ⁺	16	19		-	9	-	11
[M-H] ⁺	23	8		4	4	10	11
[M-15] ⁺							
[M-C ₂ H ₅] ⁺							
[M-16] ⁺	14	7		10	6	13	10
[M-NH] ⁺							
[M-R] ⁺	-	-		18	-	26	-
[M-HR] ⁺	-	-		3	-	10	-
[M-(NH ₂ +R)] ⁺	-	-		18	-	39	-
[M-57] ⁺	4	6		3	5	3	9
[M-(C ₂ H ₅)] ⁺							
[M-84] ⁺	5	8		4	6	3	9
[M-(C ₃ H ₇ O)] ⁺							
[M-85] ⁺	3	6		2	5	1	8
[M-(C ₃ H ₇ O)] ⁺							
[M-(76+R)] ⁺	100	100		100	100	100	100
[M-(o+R)] ⁺							
330	4	6		-	-	-	-
83	4	4		3	3	4	11

DISCUSIÓN DEL PATRÓN DE FRAGMENTACIÓN EN ESPECTROMETRÍA DE MASAS.

A continuación se proponen los mecanismos de fragmentación de los derivados de la 3,3'-dimetil-2,3,4,5,10,11-hexahidro-8-[(o-; p-metoxi)fenoxi]-11-[(o-; p-R)fenil]-1H-dibenzo-[b,e][1,4]-diazepin-1-ona; para lo cual se utilizaron técnicas de Alta Resolución, la cual nos proporciona información sobre los elementos que conforman cada fragmento así como las proporciones en que se encuentran y la técnica de Disociación Inducida por Colisión (CID) que nos indica que iones dan origen a cada uno de los fragmentos m/z más importantes.

1.-Ion Molecular M⁺

En todos los compuestos sintetizados y analizados, el Ion Molecular es muy abundante. Esto nos confirma la estabilidad del ion molecular, la cual está dada por la estructura heterocíclica. Esquema 1.

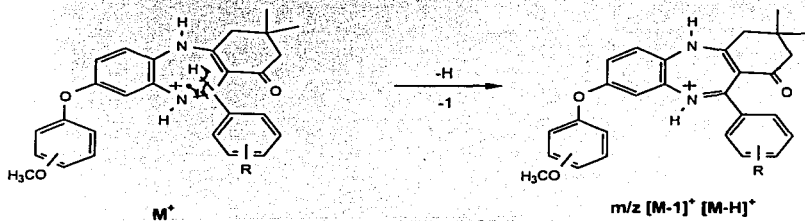


M⁺
Esquema 1

2.-Formación del ion de m/z [M-1]⁺; [M-H]⁺

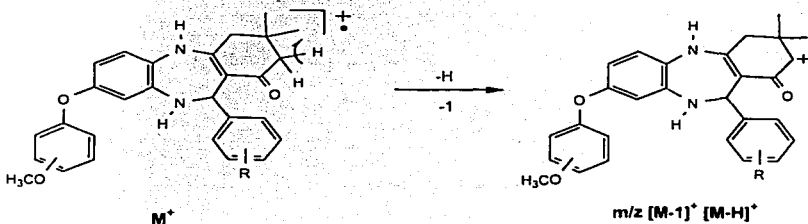
El ion de m/z [M-1]⁺ se puede originar a través de dos rutas:

a) Ruta A: A partir del Ion Molecular, se lleva a cabo la pérdida del hidrógeno "β" del C₁₁ al nitrógeno de la posición 10, al compartirse los electrones, se origina una doble ligadura N₁₀=C₁₁ quedando con una carga positiva el nitrógeno. El mecanismo de fragmentación propuesto se ilustra en el Esquema 2.



Esohema 2

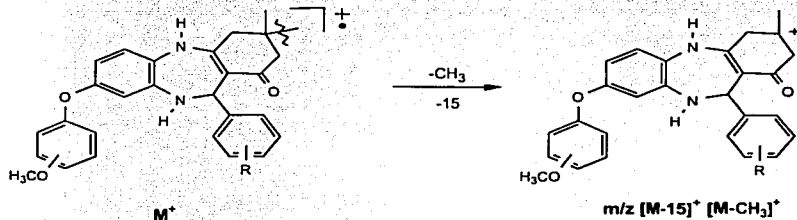
b)Ruta B: A partir del Ion Molecular, se lleva a cabo la pérdida del hidrógeno "α" al grupo carbonilo por medio de una ruptura homolítica. El mecanismo de fragmentación propuesto se ilustra en el Esquema 3.



Esquema 3

3.-Formación del ion de m/z [M-15]⁺; [M-CH₃]⁺

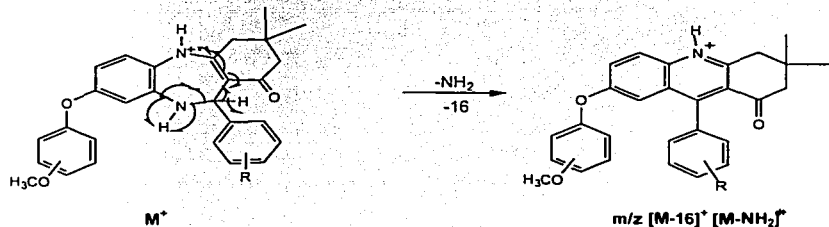
A partir del ion molecular M⁺, se pierde un grupo metilo dando lugar a la formación de un carbocatión terciario; el cual es estable. El mecanismo de fragmentación propuesto se muestra en el Esquema 4.



Esquema 4

4.-Formación del ion de m/z [M-16]⁺; [M-(NH₂)]⁺

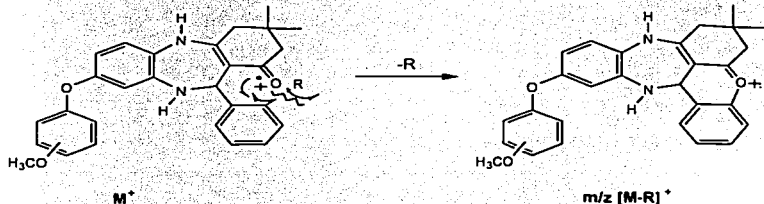
A partir del ion molecular M⁺, se lleva a cabo la pérdida del hidrógeno del C₁₁ "β" al grupo NH por medio de una ruptura homolítica, y la pérdida del NH de la posición 10 para volverse a ciclar, quedando la carga positiva sobre el NH de la posición 5, para dar el ion de m/z [M-16]⁺ [M-(NH₂)]⁺. En el Esquema 5 se ilustra el mecanismo de fragmentación propuesto.



Esquema 5

5.-Obtención del ion de m/z [M-R]⁺

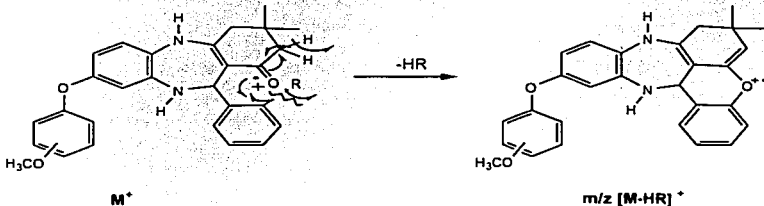
A partir del Ion Molecular M^+ , se pierde el sustituyente R de la posición orto compartiendo su electrón con la carga iónica del grupo carbonilo para dar origen al ion de m/z [M-R]⁺. Cabe mencionar que esto se observa únicamente cuando se tiene Cl y OCH₃ como sustituyente en la posición orto. El mecanismo de fragmentación que se propone se muestra en el Esquema 6.



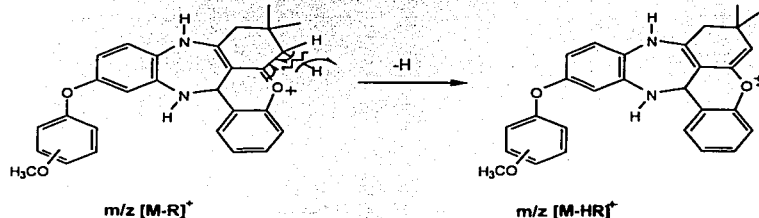
6.-Obtención del ion de m/z [M-(HR)]⁺

Este ion se obtiene a partir de dos rutas:

a)Ruta A: Cuando el sustituyente R se encuentra en posición orto en el Ion Molecular, se lleva a cabo la ruptura homolítica en el enlace C₂-R y el radical se comparte con el radical iónico del grupo carbonilo, además se elimina un hidrógeno “ α ” al grupo carbonilo para dar el ion de m/z [M-HR]⁺. Proponiéndose el mecanismo de fragmentación del Esquema 7.



b)Ruta B: A partir del ion de m/z $[M-R]^+$ se lleva a cabo la pérdida de un hidrógeno al efectuarse la ruptura homolítica en el enlace C₂-H, que al compartir su electrón con el rompimiento del enlace C=O origina un doble enlace formando el ion de m/z $[M-HR]^+$. El mecanismo de fragmentación se propone en el Esquema 8.

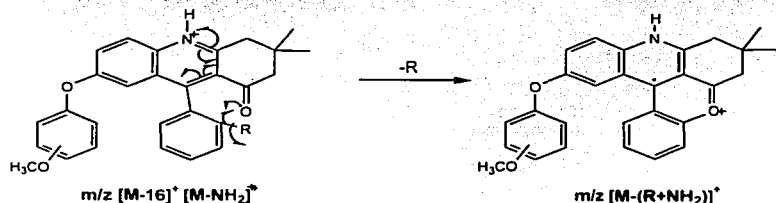


Esquema 8

7.-Formación del ion de m/z $[M-(R+16)]^+$; $[M-(R+NH_2)]^+$

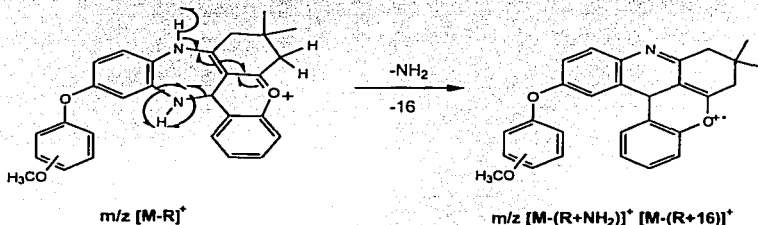
Este ion se puede originar por dos rutas diferentes:

a)Ruta A: cuando el sustituyente está en posición orto y es Cl o CH₃, en el fragmento m/z $[M-16]^+$; $[M-NH_2]^+$ se lleva a cabo la pérdida del sustituyente R al romperse el enlace C₂-R, dando así lugar a la formación de un nuevo enlace con el oxígeno del carbonilo, para dar origen al ion de m/z $[M-(R+16)]^+$. El mecanismo propuesto se encuentra en el Esquema 9.



Esquema 9

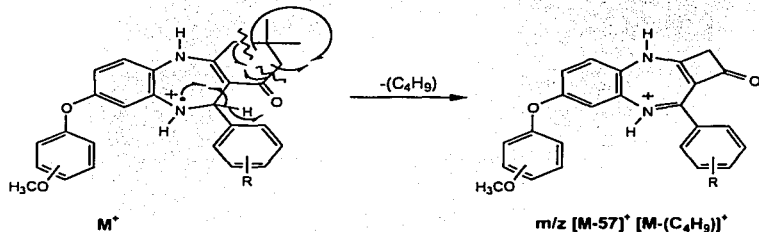
b)Ruta B: A partir del fragmento m/z [M-R]⁺, el nitrógeno de la posición 5 pierde al hidrógeno, por medio de una ruptura homolítica, al igual que la pérdida del NH de la posición 10 volviéndose a ciclar y dar origen al ion de m/z [M-(R+NH₂)⁺; [M-(R+16)]⁺ verificándose el mecanismo de fragmentación propuesto en el Esquema 10.



Esquema 10

8.-Formación del ion de m/z [M-57]⁺; [M-(C₄H₉)⁺]

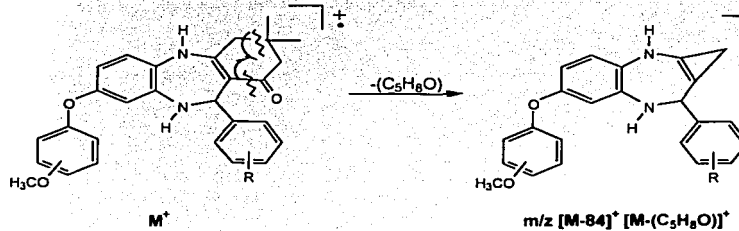
Partiendo del Ion Molecular M⁺ por una ruptura “ α ” al heteroátomo (N₁₀) del anillo dibenzodiazepínico eliminándose un hidrógeno de la posición 11 compartiéndose los electrones para dar una doble ligadura N₁₀=C₁₁, quedando carga positiva sobre el nitrógeno y la eliminación de C₄H₈ por el rompimiento de las ligaduras entre el C₁-C₂ y C₃-C₄, volviéndose a ciclar se forma el fragmento m/z [M-(C₄H₉)⁺]. El mecanismo de fragmentación que se propone se puede observar en el Esquema 11.



Esquema 11

9.-Formación del ion de m/z [M-84]⁺; [M- (C₅H₈O)]⁺

A partir del Ion Molecular M^+ por una ruptura “ α ” al carbonilo en el enlace $C_{1a}-C_1$ y una ruptura entre C_3-C_4 , eliminándose C_5H_8O , compartiendo los electrones para volverse a ciclar y dar el ion de $m/z [M-84]^+$. El mecanismo propuesto se presenta en el Esquema 12.

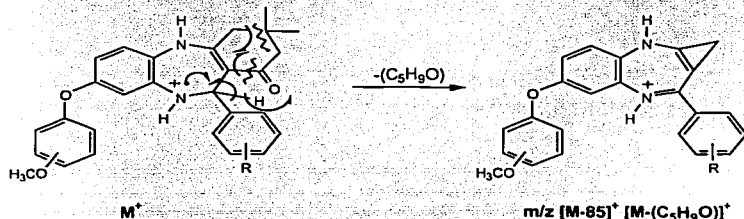


Esquema 12

10.-Obtención del ion de m/z [M-85]⁺; [M-(C₅H₉O)]⁺

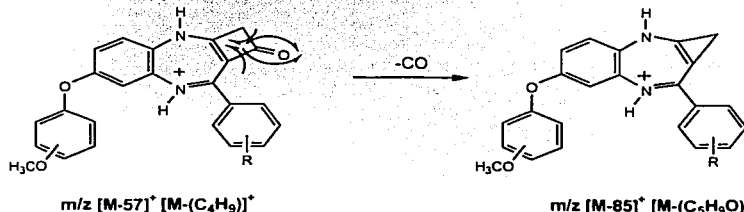
Este ion se puede obtener por tres rutas distintas:

a) Ruta A: A partir del Ion Molecular M^+ se lleva a cabo una ruptura "β" al heteroátomo (N_{10}) del anillo dibenzodiazepínico eliminándose el hidrógeno del $C_{11}-H$ compartiéndose los electrones para dar una doble ligadura entre $N_{10}=C_{11}$, quedando positivo en nitrógeno y una ruptura en las ligaduras $C_{11}-C_1$ y C_3-C_4 compartiéndose los electrones para volverse a ciclar y así formar el ion de $m/z [M-85]^+$. El mecanismo de fragmentación que se lleva a cabo en para esta ruta se propone en el Esquema 13.



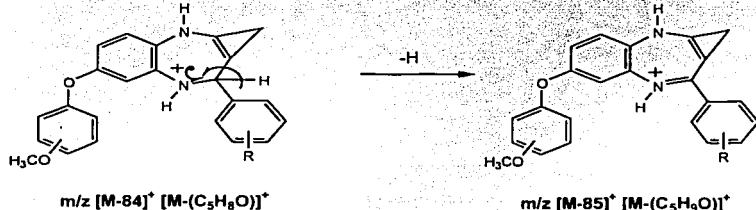
Esquema 13

b) Ruta B: Otra manera de obtener el ion de m/z [M-85]⁺ es a partir del fragmento m/z [M-57]⁺; [M-(C₄H₉)]⁺ mediante una doble ruptura eliminándose el carbonilo y ciclándose nuevamente para dar el fragmento de m/z [M-85]⁺, verificándose el mecanismo de fragmentación propuesto en el Esquema 14.



Esquema 14

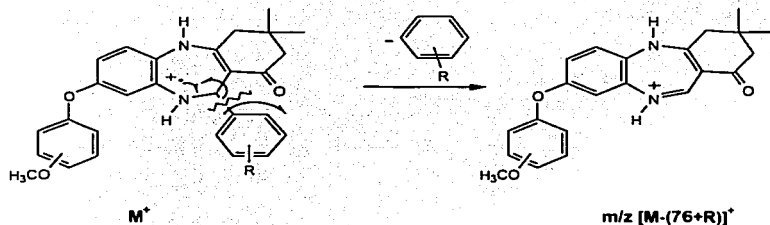
c) Ruta C: Partiendo del fragmento m/z [M-84]⁺; [M-(C₅H₈O)]⁺ se lleva a cabo la pérdida de un hidrógeno mediante una ruptura "β" al heteroátomo (N₁₀) de la ligadura C₁₁-H compartiéndose los electrones para dar una doble ligadura entre C₁₁=N₁₀ quedando cargado positivo en nitrógeno para dar el ion de m/z [M-85]⁺; [M-(C₅H₉O)]⁺, proponiéndose el mecanismo de fragmentación del Esquema 15.



Esquema 15

11.-Obtención del ion de m/z 379 [M-(76+R)]⁺

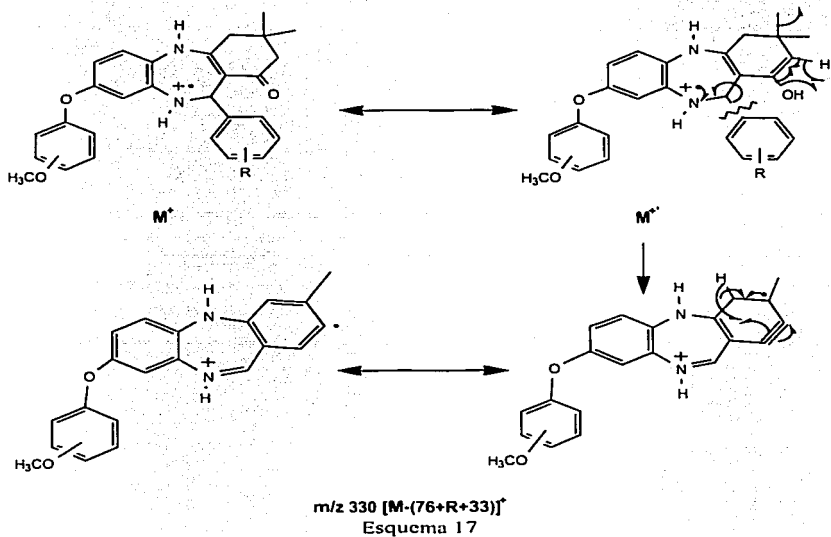
A partir del Ion Molecular por una ruptura "β" al heteroátomo (N_{10}) del anillo dibenzodiazepínico eliminándose el R-fenilo y compartiendo los electrones para dar una doble ligadura $N_{10}=C_{11}$ quedando cargado positivo el nitrógeno se obtiene el ion de m/z 379 [$M-(76+R)^+$], de acuerdo con mecanismo de fragmentación propuesto en el Esquema 16.



Esquema 16

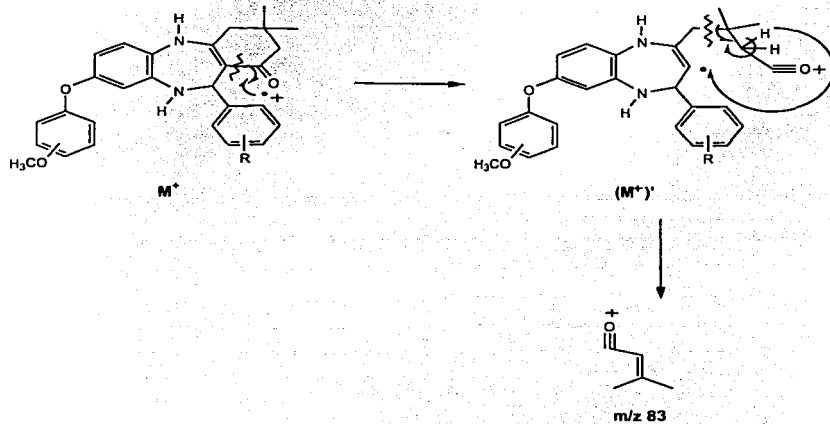
12.-Formación del ion de m/z 330 $[M-(76+R+33)]^+$; $[M-(\phi+R+H_2O+CH_3)]^+$

El Ion Molecular se encuentra en equilibrio con la forma enólica M''^+ . A partir de esta forma enólica se experimenta la pérdida de ϕ -R, agua y CH_3 para darnos el ion $[M-(76+R+33)]^+$; el cual a su vez se encuentra en equilibrio con la forma aromática. Esto se observa únicamente cuando el sustituyente es o- CH_3 y p- CH_3 . El mecanismo propuesto se presenta en el Esquema 17.



13.-Formación del ion de m/z 83

A partir del Ion Molecular M^+ se lleva a cabo una ruptura homolítica “ α ” al carbonilo compartiéndose el electrón con la carga radical iónica del carbonilo dando el ion (M^+)’; posteriormente se verifica una ruptura “ γ ” al carbonilo cargado positivamente y la transposición de un hidrógeno al anillo benzodiazepínico que deja un radical el cual se comparte con el radical de la ruptura “ γ ” dando origen al ion de m/z 83. El mecanismo de fragmentación se propone en el Esquema 18.

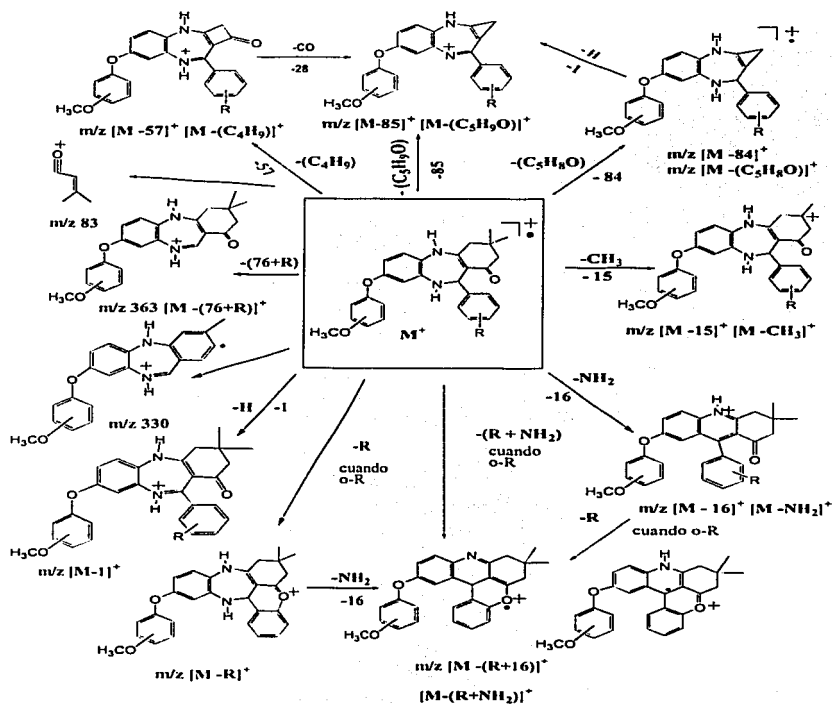


Esquema 18

14.-Patrón General de Fragmentación

Acorde con los mecanismos de fragmentación propuestos y confirmados por los experimentos CID y alta resolución para los iones más representativos en los Espectros de Masas de los compuestos analizados, se propone un Patrón General de Fragmentación para los derivados de la 3,3-dimetil-2,3,4,5,10,11-hexahidro-8-[(α -; p-metoxi)fenoxi]-11-[(α -; p-R)fenil]-1H-dibenzo-[b,e][1,4]-diazepin-1-ona; como se presenta en el Esquema 19.

Patrón General de Fragmentación.



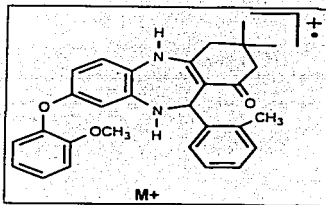
Esquema 19

ESTUDIO DE ESPECTROMETRÍA DE MASAS DE ALTA RESOLUCIÓN.

A continuación se presenta el análisis de Alta Resolución para los fragmentos más importantes del 3,3-dimetil-2,3,4,5,10,11-hexahidro-8-[o-metoxifenoxi]-11-[o-metilfenil]-1H-dibenzo-[b,e][1,4]-diazepin-1-ona.

[Elemental Composition]
Data : Dr-Cortes-Eduardo-171 Date : 05-Feb-102 12:06
Sample: pf 165-157
Notes : -
Inlet : Direct Ion Mode : EI+
RT : 3.25 min Scan# : (5,29)
Elements : C 31/0, H 35/0, O 3/0, N 2/0
Mass Tolerance : 10ppm, 5mmu if m/z < 500, 7mmu if m/z > 700
Unsaturation (U.S.) : 0.0 - 20.0

Observed m/z	Int%
454.2258	66.5
Estimated m/z	Error [ppm]
454.2256	+0.3
	15.0
	29
	30
	3
	2



ION MOLECULAR M⁺

Fórmula molecular C₂₉H₃₀O₃N₂
m/z observada 454.2258
m/z estimada 454.2256
Error estimado +0.3

[Elemental Composition]

Data : Dr-Cortes-Eduardo-187

Date : 22-Feb-102 12:37

Sample: CG-IV-1-1

Note : Lab Espectrometria de masas IQ UNAM

Inlet : Direct

Ion Mode : EI+

PC : 2.54 min

Scan#: 9

Elementis : C 30/0, H 35/0, O 3/0, N 2/0

Mass Tolerance : 10ppm, 5mmu if m/z < 500, 7mmu if m/z > 700

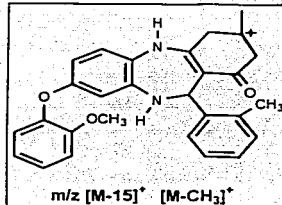
Unsaturation (U.S.) : 0.0 - 18.0

Observed m/z Int%

439.2020 16.3

Estimated m/z Error [ppm] U.S. C H O N

439.2021 -0.5 16.5 28 27 3 2

Ion m/z $[M-CH_3]^+$

Fórmula molecular

 m/z observada m/z estimada

Error estimado

 $C_{28}H_{27}O_3N_2$

439.2020

439.2022

-0.5

[Elemental Composition]

Data : Dr-Cortes-Eduardo-187

Date : 22-Feb-102 12:37

Sample: CG-IV-1-1

Note : Lab Espectrometria de masas IQ UNAM

Inlet : Direct

Ion Mode : EI+

RT : 2.54 min

Scan# : 9

Elements : C 30/0, H 35/0, O 3/0, N 2/0

Mass Tolerance : 10ppm, 5mamu if m/z < 500, 7mamu if m/z > 700

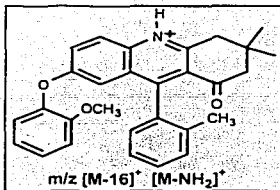
Unsaturation (U.S.) : 0.0 - 18.0

Observed m/z Int%

438.2050 33.6

Estimated m/z Error[ppm] U.S.

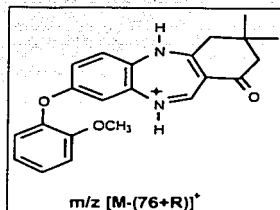
438.2063 -4.4 16.5

C H O N
29 28 3 1Ion m/z $[M-NH_2]^+$ Fórmula molecular $C_{29}H_{25}O_3N$ m/z observada 438.2050 m/z estimada 438.2069

Error estimado -4.4

[Elemental Composition] Date : 22-Feb-102 12:37
 Data : Dr-Cortes-Eduardo-127
 Sample: CG-IV-1-1
 Note : Lab Espectrometria de masas IQ UNAM
 Inlet : Direct Ion Mode : EI+
 PT : 4.92 min Scan# : (14,19)
 Elements : C 30/0, H 35/0, O 3/0, N 2/0
 Mass Tolerance : 10ppm, 5mmu if m/z < 500, 7mmu if m/z > 700
 Unsaturation (U.S.) : 0.0 - 18.0

Observed m/z	Int%						
363.1703	64.6						
Estimated m/z		Error(ppm)	U.S.	C	H	O	N
363.1749	-12.3	16.5	27	23	1	-	-
363.1709	-1.7	12.5	22	23	3	2	-



Ion m/z $[M-(\phi+R)]^-$
 Fórmula molecular $C_{27}H_{23}O_3N_2$
 m/z observada 363.1703
 m/z estimada 363.1709
 Error estimado -1.7

[Elemental Composition]
Date : Dr-Cortes-Eduardo-171
Sample: pf 165-167

Date : 05-Feb-102 12:06

Note : -

Inject : Direct

RT : 3.04 min

Elements : C 31/0, H 35/0, O 3/0, N 2/0

Mass Tolerance : 10ppm, 5mmu if m/z < 500, 7mmu if m/z > 700
Unsaturation (U.S.) : 0.0 - 20.0

Observed m/z Inc%

330 1.47

21.4

Calculated m/z Error[ppm] U.S.

Ion Mode : EI+

Scan# : 16

C

H

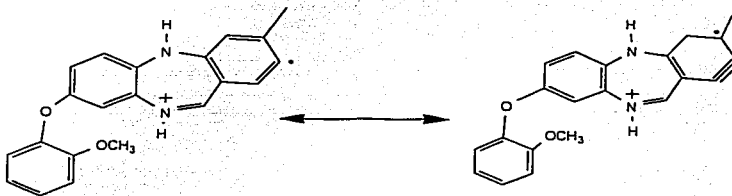
O

N

230.1368

-6.5

14.0



m/z 330 [M-(76+R+33)]⁺

Ion m/z [M-(φ+R+H₂O+CH₃)]⁺
Fórmula molecular C₂₁H₁₈O₂N₂
m/z observada 330.1347
m/z estimada 330.1368
Error estimado -6.5

CONCLUSIONES

CONCLUSIONES

- 1) Se sintetizaron doce nuevos derivados de la 3,3-dimetil-2,3,4,5,10,11-hexahidro-8-[(o;- p-metoxi)fenoxi]-11-[(o;- p-R)fenil]-1H-dibenzo-[b,c][1,4]-diazepin-1-ona, mediante una ruta sintética de cuatro pasos con rendimientos del 82-98 % en el último paso.
- 2) Mediante técnicas de Espectrometría de Masas, Espectroscopia de Infrarrojo, Resonancia Magnética Nuclear (RMN ^1H y ^{13}C) con técnicas bidimensionales como COSY, HETCOR y FLOCK; se ha podido comprobar que los productos obtenidos son derivados de la 3,3-dimetil-2,3,4,5,10,11-hexahidro-8-[(o;- p-metoxi)fenoxi]-11-[(o;- p-R)fenil]-1H-dibenzo-[b,c][1,4]-diazepin-1-ona.
- 3) Se determinaron los mecanismos de fragmentación y se estableció un Patrón General de Fragmentación de los nuevos derivados realizando un estudio completo por Espectrometría de Masas utilizando técnicas de Alta Resolución y Disociación Inducida por colisión (CID).
- 4) Con respecto al Patrón General de Fragmentación se concluye lo siguiente:
 - ❖ Todos los compuestos finales sintetizados presentan el mismo Patrón de Fragmentación.
 - ❖ En todos los compuestos analizados, el pico base es el fragmento $[M-(76+R)]^+$; $[M-(\phi+R)]^+$.
 - ❖ Los iones más importantes en los Espectros de Masas de estos nuevos derivados benzodiazepínicos son: M^+ , $[M-\text{H}]^+$ se observa en casi todos los compuestos, con excepción de aquellos con sustituyentes R= o-Cl; p-OCH₃ y p-OCH₃, $[M-\text{CH}_3]^+$, $[M-\text{NH}_2]^+$, $[M-\text{R}]^+$ se presenta con sustituyentes R= o-Cl y o-OCH₃, $[M-\text{HR}]^+$ se observa con sustituyentes o-Cl y o-OCH₃, $[M-(\text{NH}_2 + \text{R})]^+$ cuando hay sustituyentes o-Cl y o-OCH₃, $[M-(\text{C}_6\text{H}_5)]^+$, $[M-(\text{C}_5\text{H}_8\text{O})]^+$, $[M-(\text{C}_5\text{H}_9\text{O})]^+$, $[M-(\phi+\text{R})]^+$, un pico característico en 330 cuando el sustituyente es R= o-CH₃ y p-OCH₃, por último el ion de m/z 83.

ANEXO

Espectros de Infrarrojo

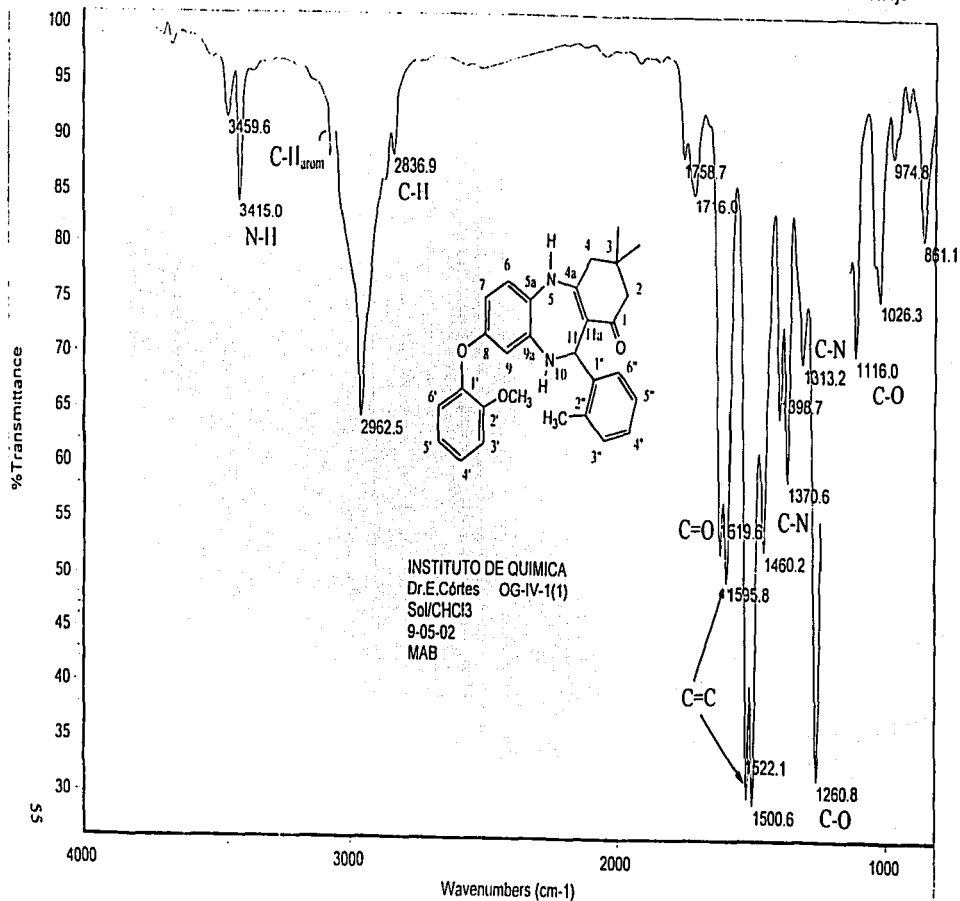
3,3-dimetil-2,3,4,5,10,11-hexahidro-8-[o-metoxifenoxy]-11-[o-metilfenil]-1H-dibenzo-[b,c][1,4]-diazepin-1-ona.....	55
--	----

Espectros de Resonancia Magnética Nuclear

3,3-dimetil-2,3,4,5,10,11-hexahidro-8-[o-metoxifenoxy]-11-[o-metilfenil]-1H-dibenzo-[b,e][1,4]-diazepin-1-ona ¹ H.....	56
3,3-dimetil-2,3,4,5,10,11-hexahidro-8-[o-metoxifenoxy]-11-[o-metilfenil]-1H-dibenzo-[b,e][1,4]-diazepin-1-ona ¹ H.....	57
3,3-dimetil-2,3,4,5,10,11-hexahidro-8-[o-metoxifenoxy]-11-[o-metilfenil]-1H-dibenzo-[b,c][1,4]-diazepin-1-ona ¹ H.....	58
3,3-dimetil-2,3,4,5,10,11-hexahidro-8-[o-metoxifenoxy]-11-[o-metilfenil]-1H-dibenzo-[b,c][1,4]-diazepin-1-ona ¹³ C.....	59
3,3-dimetil-2,3,4,5,10,11-hexahidro-8-[o-metoxifenoxy]-11-[o-metilfenil]-1H-dibenzo-[b,c][1,4]-diazepin-1-ona ¹³ C.....	60
3,3-dimetil-2,3,4,5,10,11-hexahidro-8-[o-metoxifenoxy]-11-[o-metilfenil]-1H-dibenzo-[b,c][1,4]-diazepin-1-ona ¹³ C.....	61
3,3-dimetil-2,3,4,5,10,11-hexahidro-8-[o-metoxifenoxy]-11-[o-metilfenil]-1H-dibenzo-[b,e][1,4]-diazepin-1-ona ¹³ C.....	62
3,3-dimetil-2,3,4,5,10,11-hexahidro-8-[o-metoxifenoxy]-11-[o-metilfenil]-1H-dibenzo-[b,c][1,4]-diazepin-1-ona DEPT.....	63
3,3-dimetil-2,3,4,5,10,11-hexahidro-8-[o-metoxifenoxy]-11-[o-metilfenil]-1H-dibenzo-[b,c][1,4]-diazepin-1-ona DEPT.....	64
3,3-dimetil-2,3,4,5,10,11-hexahidro-8-[o-metoxifenoxy]-11-[o-metilfenil]-1H-dibenzo-[b,e][1,4]-diazepin-1-ona HETCOR.....	65
3,3-dimetil-2,3,4,5,10,11-hexahidro-8-[o-metoxifenoxy]-11-[o-metilfenil]-1H-dibenzo-[b,e][1,4]-diazepin-1-ona HETCOR.....	66
3,3-dimetil-2,3,4,5,10,11-hexahidro-8-[o-metoxifenoxy]-11-[o-metilfenil]-1H-dibenzo-[b,c][1,4]-diazepin-1-ona COSY.....	67

3,3-dimetil-2,3,4,5,10,11-hexahidro-8-[o-metoxifenoxy]-11-[o-metilsenil]-1H-dibenzo-[b,e][1,4]-diazepin-1-ona FLOCK.....	68
3,3-dimetil-2,3,4,5,10,11-hexahidro-8-[o-metoxifenoxy]-11-[o-metilsenil]-1H-dibenzo-[b,e][1,4]-diazepin-1-ona FLOCK.....	69
3,3-dimetil-2,3,4,5,10,11-hexahidro-8-[p-metoxifenoxy]-11-[p-clorosfenil]-1H-dibenzo-[b,e][1,4]-diazepin-1-ona ¹ H.....	70
3,3-dimetil-2,3,4,5,10,11-hexahidro-8-[p-metoxifenoxy]-11-[p-clorosfenil]-1H-dibenzo-[b,e][1,4]-diazepin-1-ona ¹ H.....	71
3,3-dimetil-2,3,4,5,10,11-hexahidro-8-[p-metoxifenoxy]-11-[p-clorosfenil]-1H-dibenzo-[b,e][1,4]-diazepin-1-ona ¹³ C.....	72
3,3-dimetil-2,3,4,5,10,11-hexahidro-8-[p-metoxifenoxy]-11-[p-clorosfenil]-1H-dibenzo-[b,e][1,4]-diazepin-1-ona ¹³ C.....	73
3,3-dimetil-2,3,4,5,10,11-hexahidro-8-[p-metoxifenoxy]-11-[p-clorosfenil]-1H-dibenzo-[b,e][1,4]-diazepin-1-ona DEPT.....	74
3,3-dimetil-2,3,4,5,10,11-hexahidro-8-[p-metoxifenoxy]-11-[p-clorosfenil]-1H-dibenzo-[b,e][1,4]-diazepin-1-ona HETCOR.....	75
3,3-dimetil-2,3,4,5,10,11-hexahidro-8-[p-metoxifenoxy]-11-[p-clorosfenil]-1H-dibenzo-[b,e][1,4]-diazepin-1-ona HETCOR.....	76
3,3-dimetil-2,3,4,5,10,11-hexahidro-8-[p-metoxifenoxy]-11-[p-clorosfenil]-1H-dibenzo-[b,e][1,4]-diazepin-1-ona COSY.....	77
Especetros de Masas	
3,3-dimetil-2,3,4,5,10,11-hexahidro-8-[o-metoxifenoxy]-11-[o-metilsenil]-1H-dibenzo-[b,e][1,4]-diazepin-1-ona(EM y CID).....	78
3,3-dimetil-2,3,4,5,10,11-hexahidro-8-[o-metoxifenoxy]-11-[o-metilsenil]-1H-dibenzo-[b,e][1,4]-diazepin-1-ona.....	79
3,3-dimetil-2,3,4,5,10,11-hexahidro-8-[o-metoxifenoxy]-11-[p-metilsenil]-1H-dibenzo-[b,e][1,4]-diazepin-1-ona.....	80
3,3-dimetil-2,3,4,5,10,11-hexahidro-8-[o-metoxifenoxy]-11-[o-clorosfenil]-1H-dibenzo-[b,e][1,4]-diazepin-1-ona.....	81

3,3-dimetil-2,3,4,5,10,11-hexahidro-8-[o-metoxifenoxy]-11-[p-clorofenil]-1H-dibenzo-[b,e][1,4]-diazepin-1-oná.....	82
3,3-dimetil-2,3,4,5,10,11-hexahidro-8-[o-metoxifenoxy]-11-[o-metoxifenil]-1H-dibenzo-[b,e][1,4]-diazepin-1-oná.....	83
3,3-dimetil-2,3,4,5,10,11-hexahidro-8-[o-metoxifenoxy]-11-[p-metoxifenil]-1H-dibenzo-[b,e][1,4]-diazepin-1-oná.....	84
3,3-dimetil-2,3,4,5,10,11-hexahidro-8-[p-metoxifenoxy]-11-[o-metoxifenil]-1H-dibenzo-[b,e][1,4]-diazepin-1-oná.....	85
3,3-dimetil-2,3,4,5,10,11-hexahidro-8-[p-metoxifenoxy]-11-[p-metoxifenil]-1H-dibenzo-[b,e][1,4]-diazepin-1-oná.....	86
3,3-dimetil-2,3,4,5,10,11-hexahidro-8-[p-metoxifenoxy]-11-[o-clorofenil]-1H-dibenzo-[b,e][1,4]-diazepin-1-oná.....	87
3,3-dimetil-2,3,4,5,10,11-hexahidro-8-[p-metoxifenoxy]-11-[p-clorofenil]-1H-dibenzo-[b,e][1,4]-diazepin-1-oná.....	88
3,3-dimetil-2,3,4,5,10,11-hexahidro-8-[p-metoxifenoxy]-11-[o-metoxifenil]-1H-dibenzo-[b,e][1,4]-diazepin-1-oná.....	89
3,3-dimetil-2,3,4,5,10,11-hexahidro-8-[p-metoxifenoxy]-11-[p-metoxifenil]-1H-dibenzo-[b,e][1,4]-diazepin-1-oná.....	90

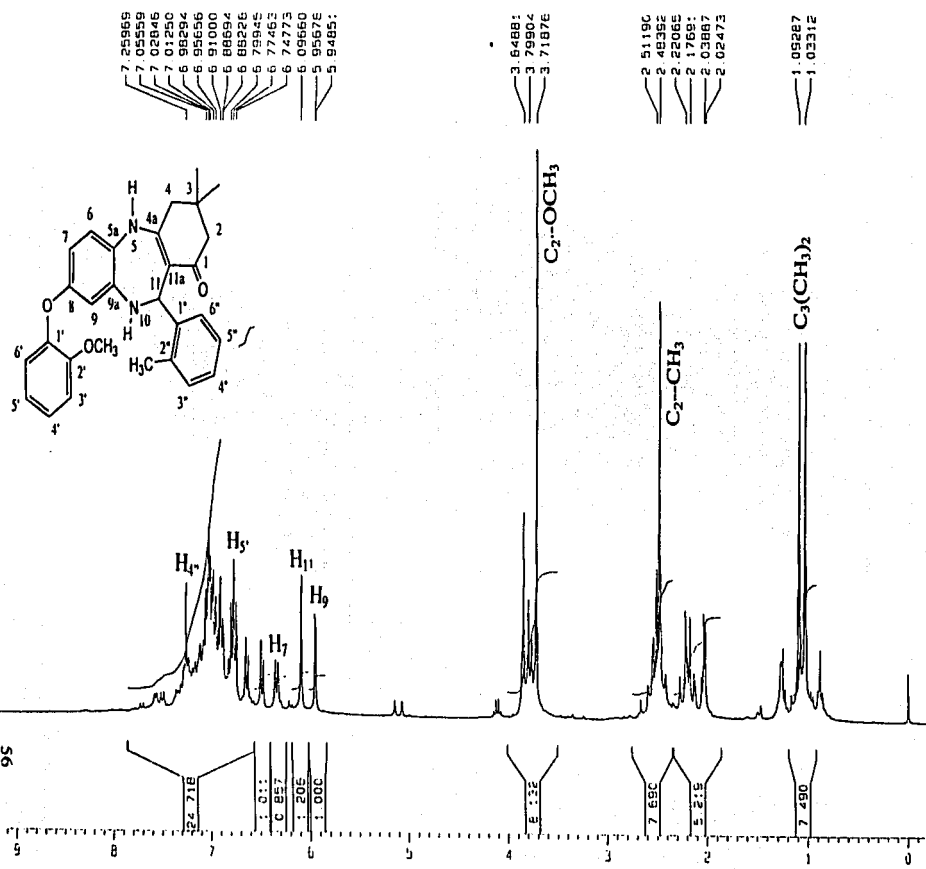


Un-E-Cortes GS-17-1(1) 1H

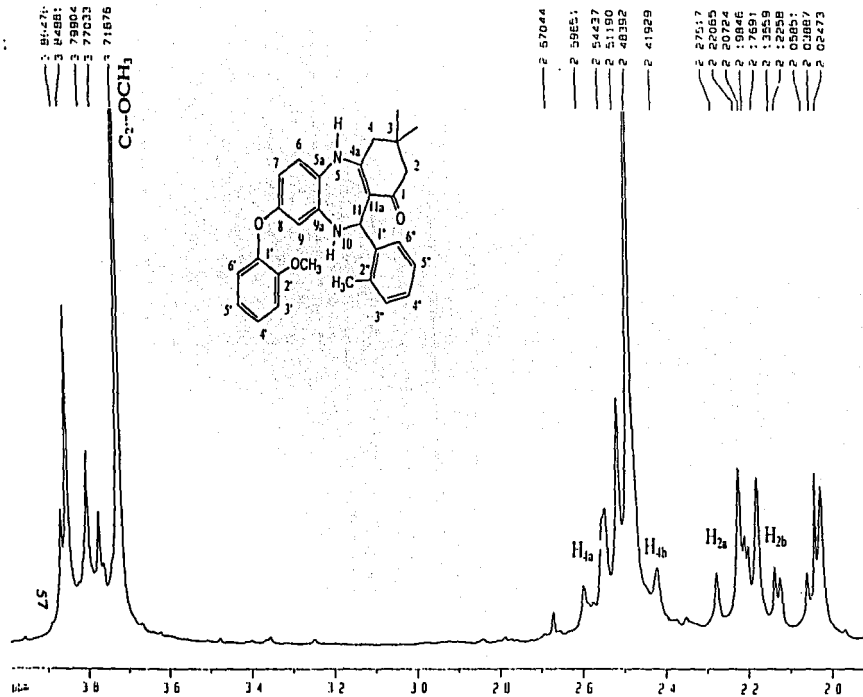
Solvent CDCl₃

Nucleus ¹H

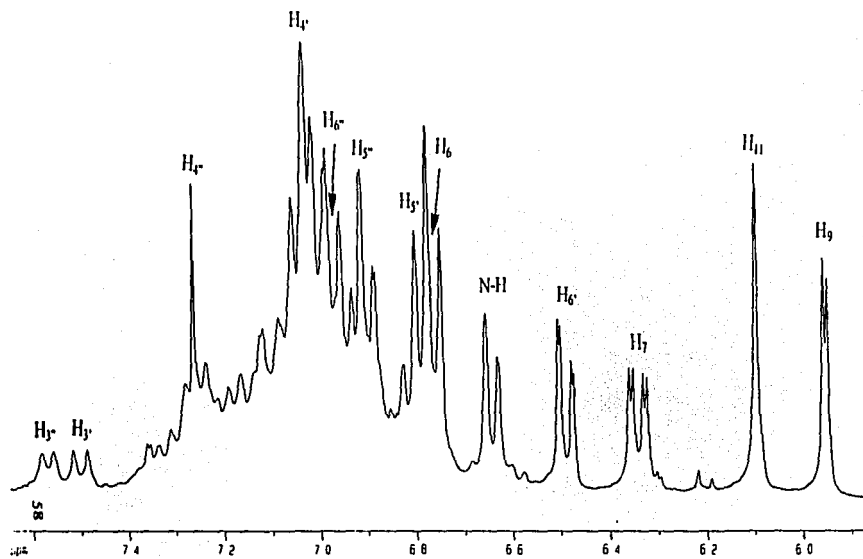
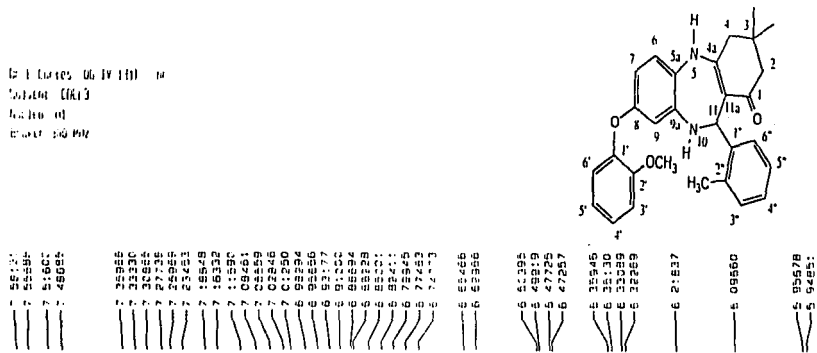
Bufer-300 MHz



b + *c* (res. d, IV 100%
CDCl₃ (94.1)
TMS (0)
EQU 50 MHZ



G. F. Lanes 06 IV (D) - 14
 Solvent (H₂O)
 100% v/v
 0.01% DQ BME

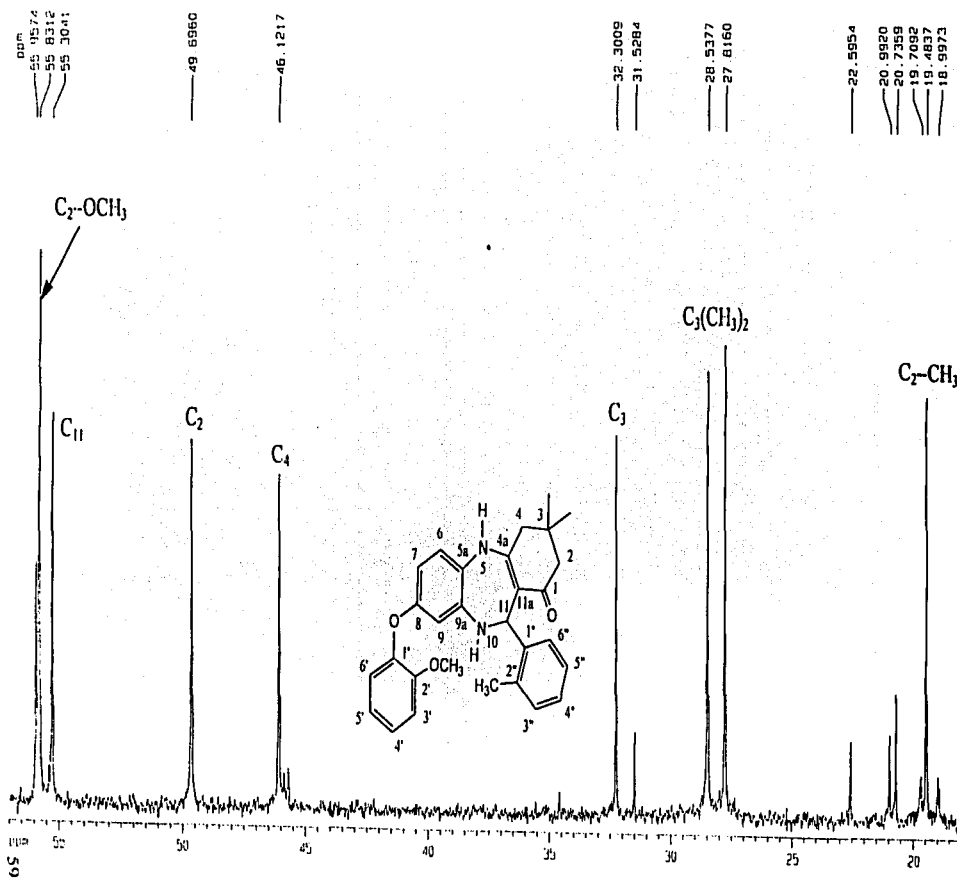


Dr. Lourdes Gómez (III) - DR

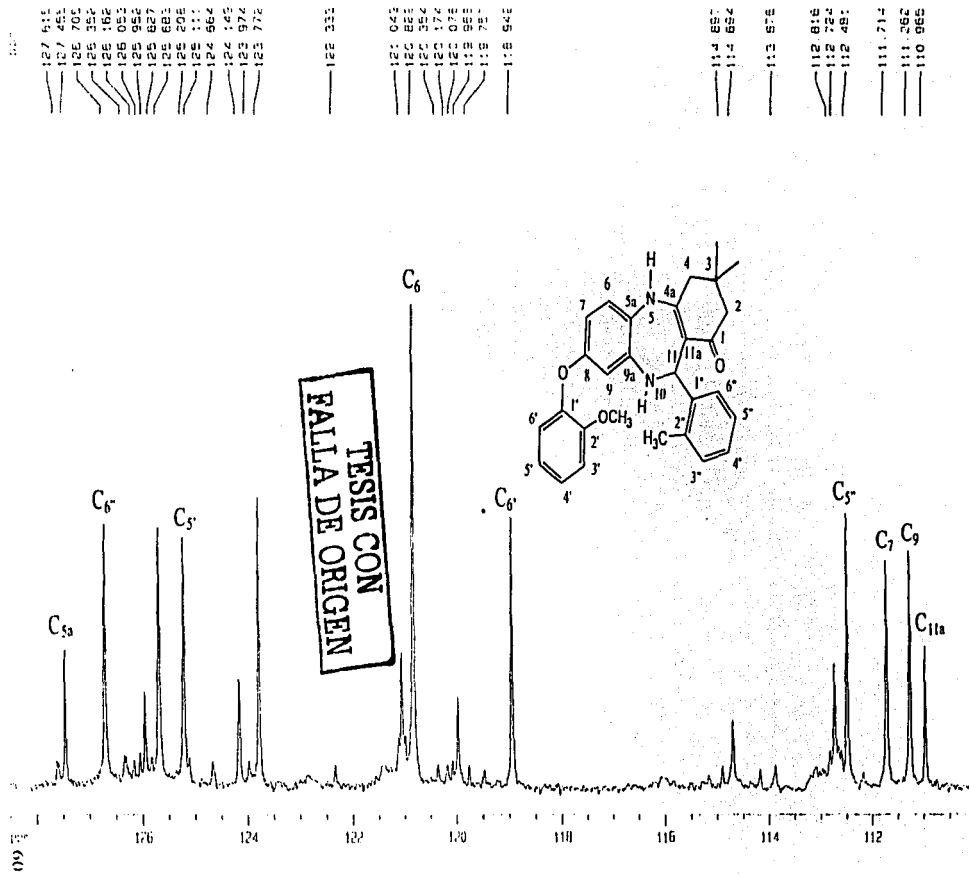
Solvent CDCl₃

Nucleo C13

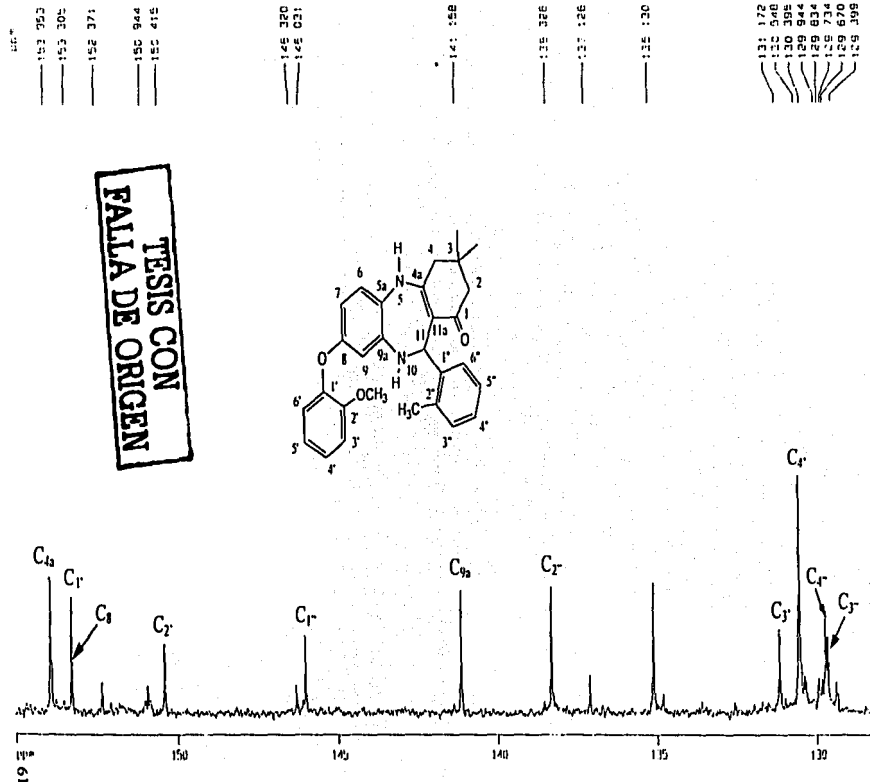
Bruker 75.4-MHz



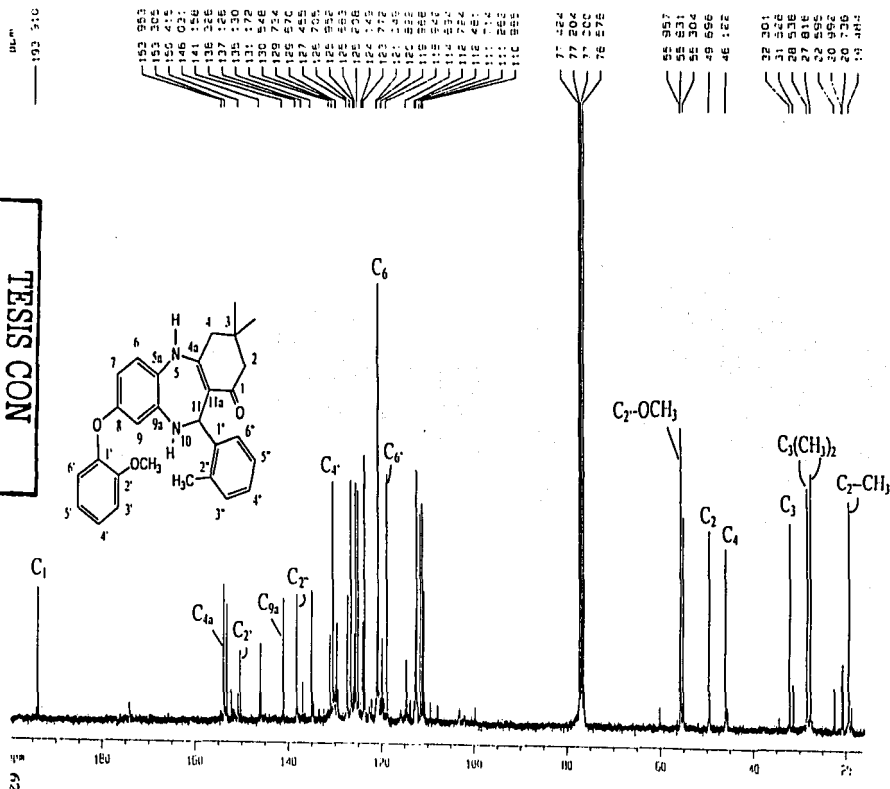
Dri-E Cortes 06 IV-1111 fm
Solvent COCl₃
Nucleo CD₃
Bruker 75.4 MHz

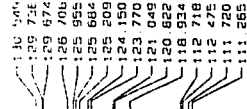


Dr. Cortes 10-14-1970
Soylent 100.3
Nucleo 013
Bruxer 75 4-1970



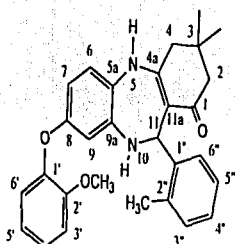
D₆-DMSO-CDCl₃ (1:1:1) 600
Solvent: CDCl₃
Nuclei: C13
Bruker: 75.4 MHz





C₄

C₆



C₂-OCH₃

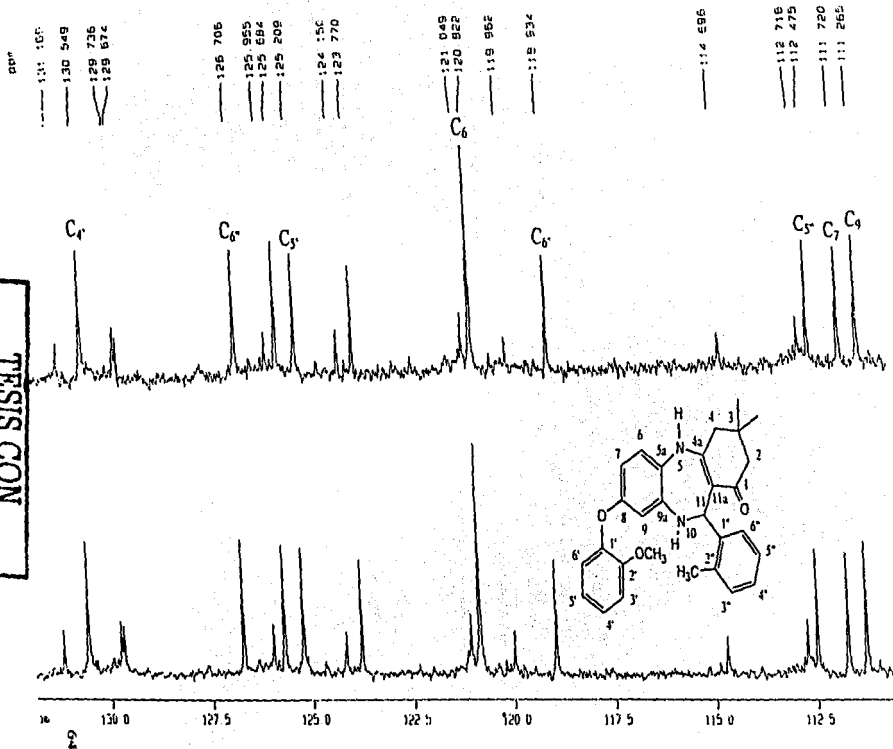
C₂ C₄

C₃(CH₃)₂ C₂-CH₃

28 539
27 814
20 999
20 735
19 415

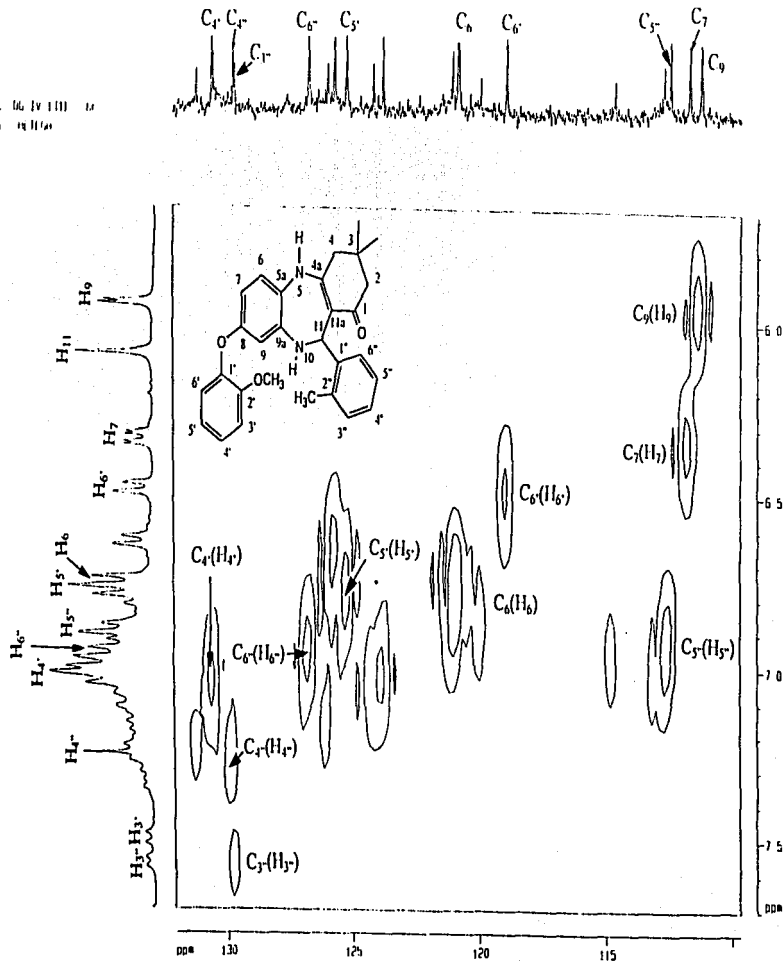
FALLA DE ORIGEN
TESIS CON

1: LOTES 00171111 - N
Experimento DEPT

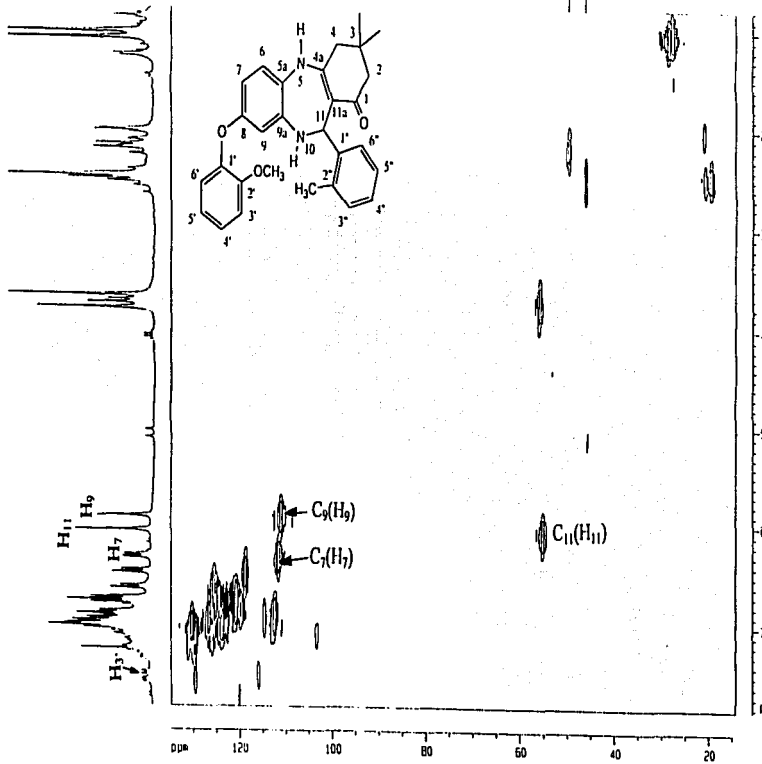
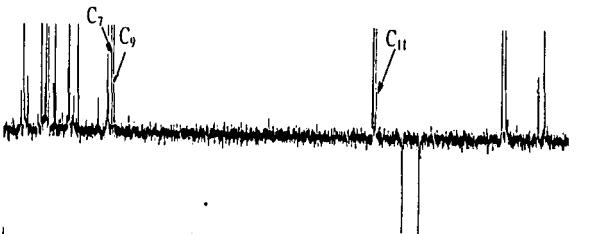


TESIS CON
FALLA DE ORIGEN

DE TITOL: 6,4-V(III) DA
DOPPIAMENTO 1000



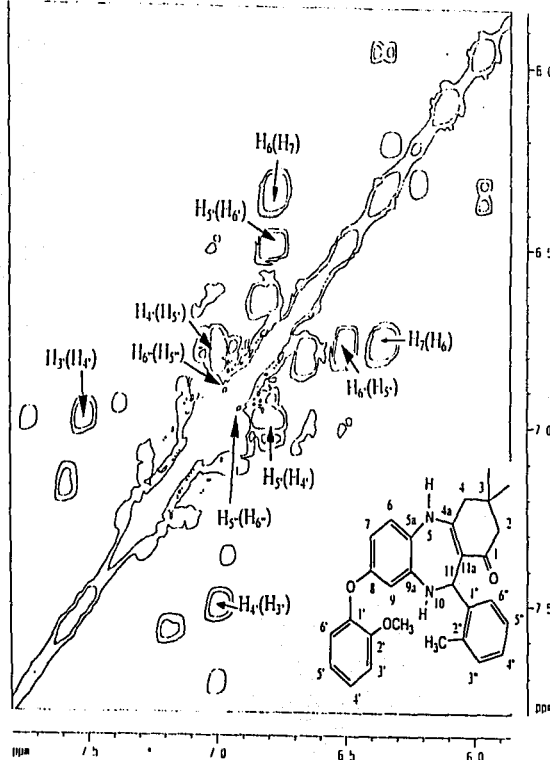
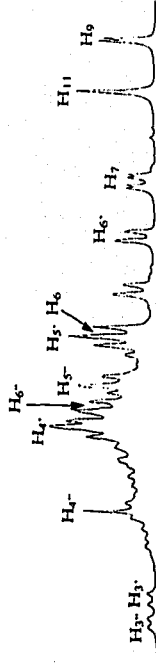
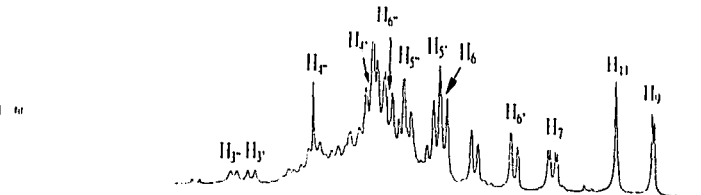
S = Cortes G-IV-111
Experiencia N° 100



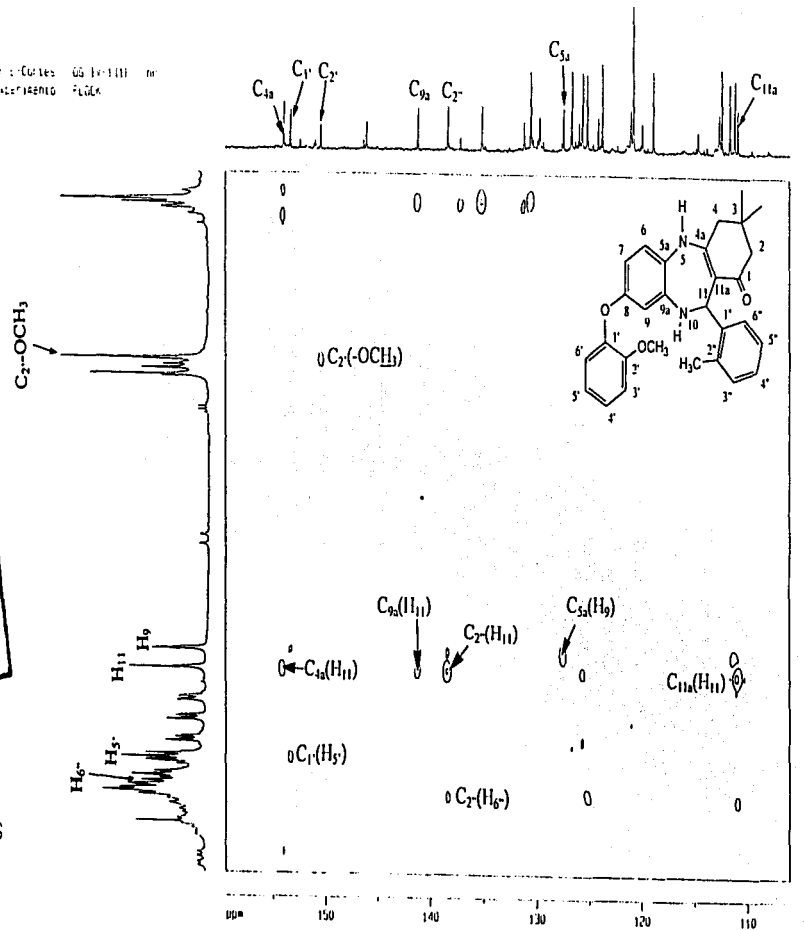
**TESIS CON
FALLA DE ORIGEN**

2

W.T. 1000.00 Hz
TMS = 100.00 ppm



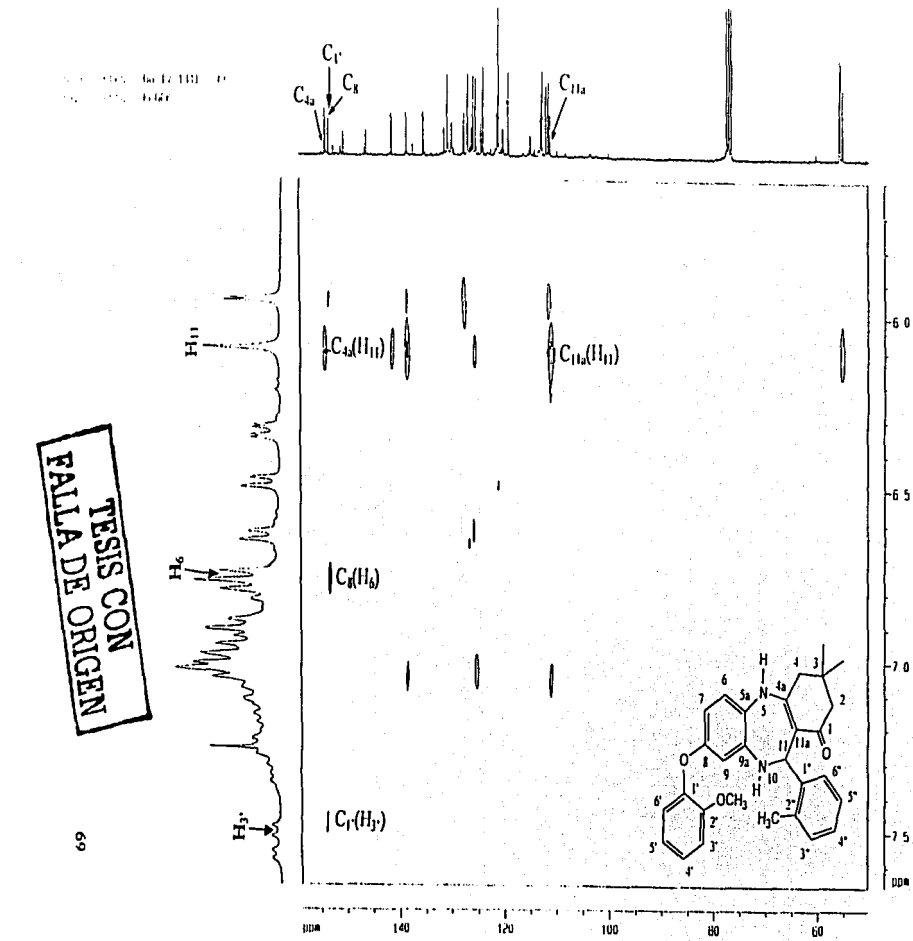
C = Cetas G6 (v=100) m
Esteroseno FIDX



TESIS CON
FALLA DE ORIGEN

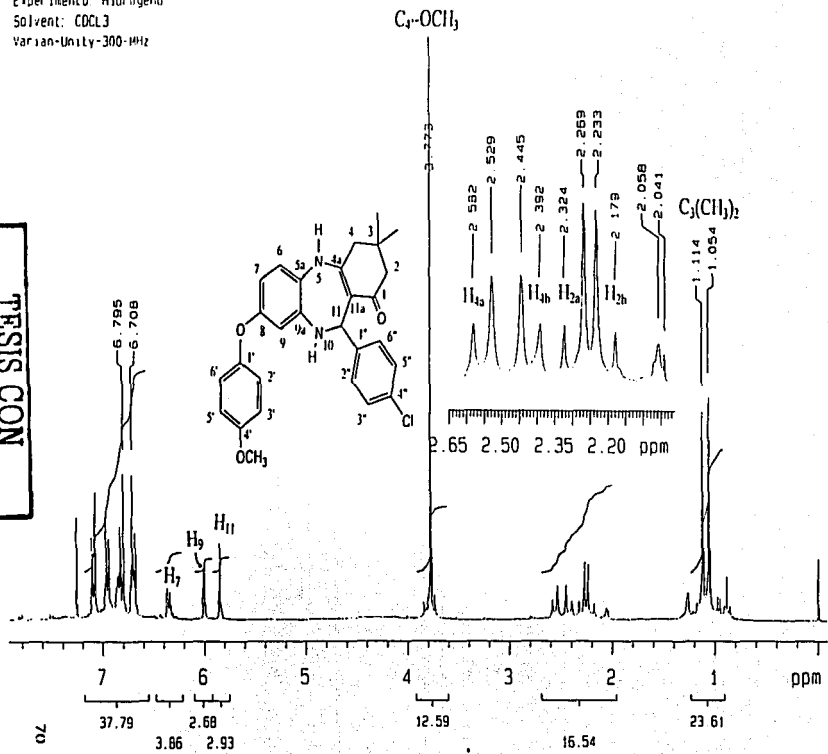
**TESIS CON
FALLA DE ORIGEN**

69

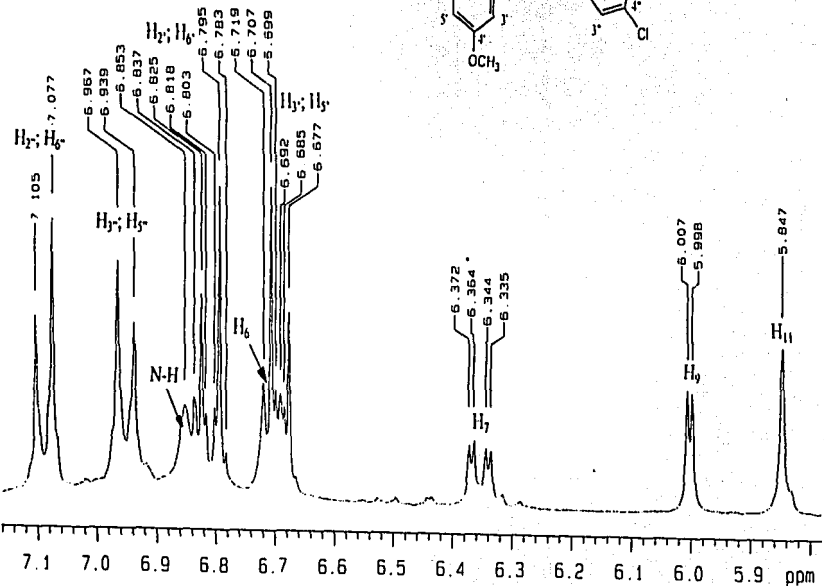


Dr.-E-Cortes OG-IV-12 (2) hr
Experimento: Hidrogeno
Solvent: CDCl₃
Varian-Unity-300-MHz

TESIS CON
FALLA DE ORIGEN



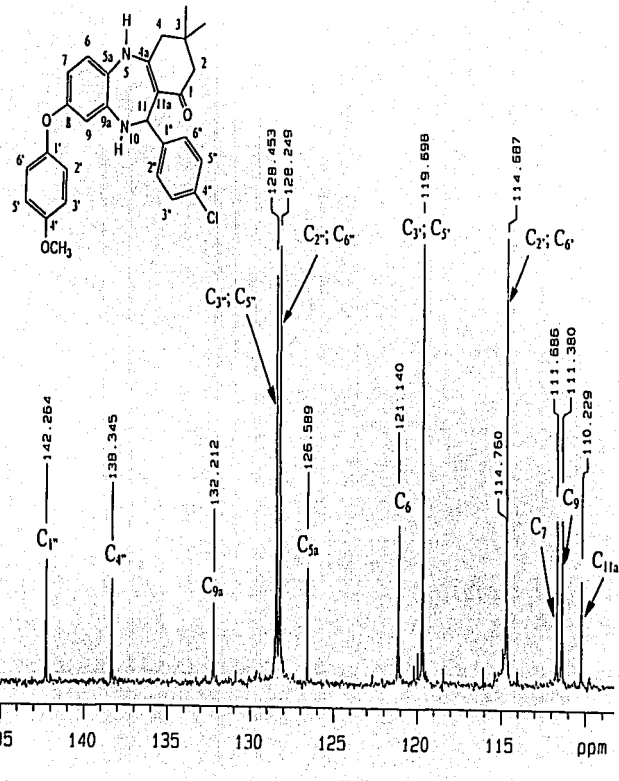
Dr.-E-Cortes OG-IV-12(2) nr
Experimento: Hidrogeno
Solvente: CDCl₃
Varian-Unity-300-MHz



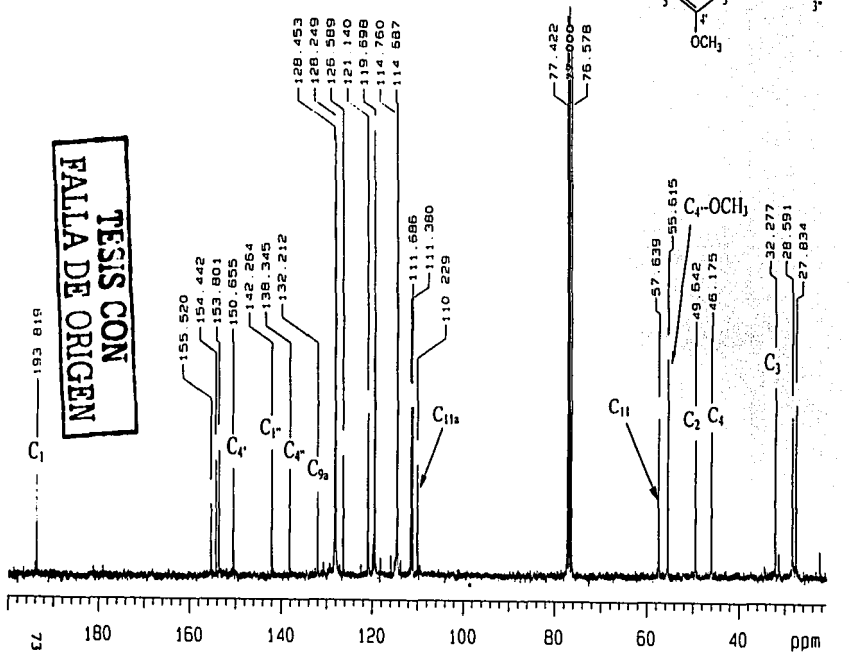
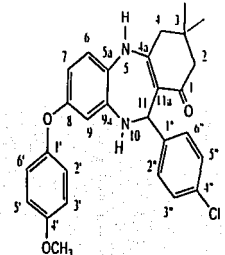
TESIS CON
FALLA DE ORIGEN

FALLA DE ORIGEN

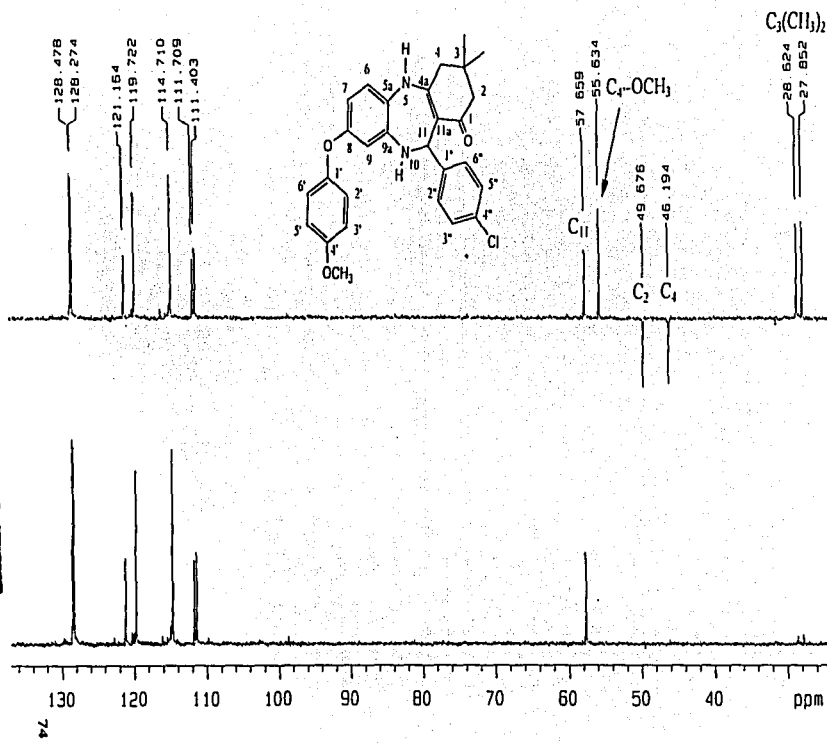
Dr.-E-Cortes DG-[V-12(2)] hr
Experimento: C13
Solvente : CDCl₃
Varian-Unity-75.4 MHz



Dr-E-Cortes OG-IV-12(2) hr
Experiment: C13
Solvent : COCL3
Varian-Unity-75.4 MHz

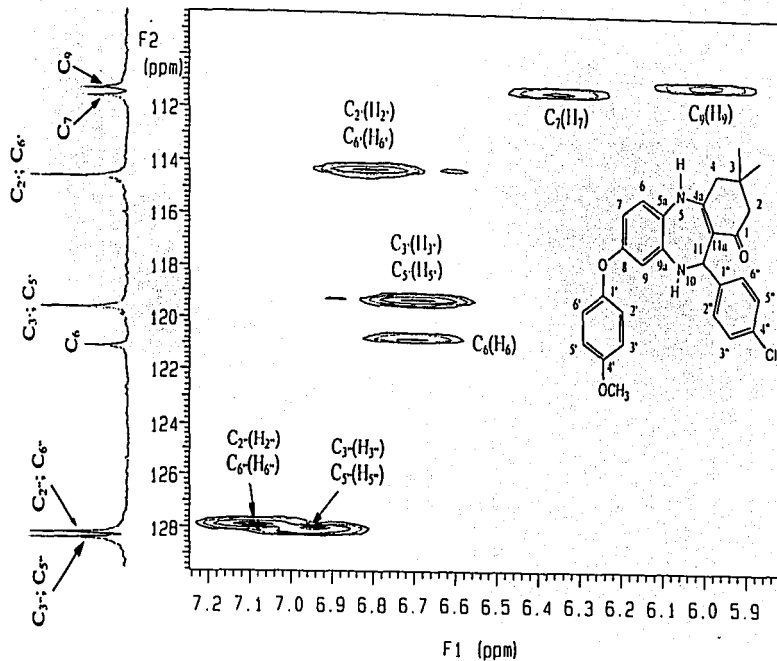
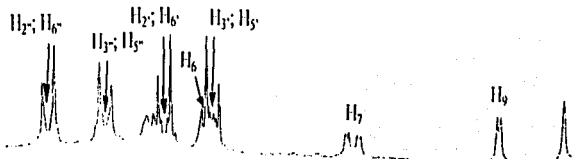


Dr. E-Cortes OG-IV-12 [2] hr
Experimento DEPT



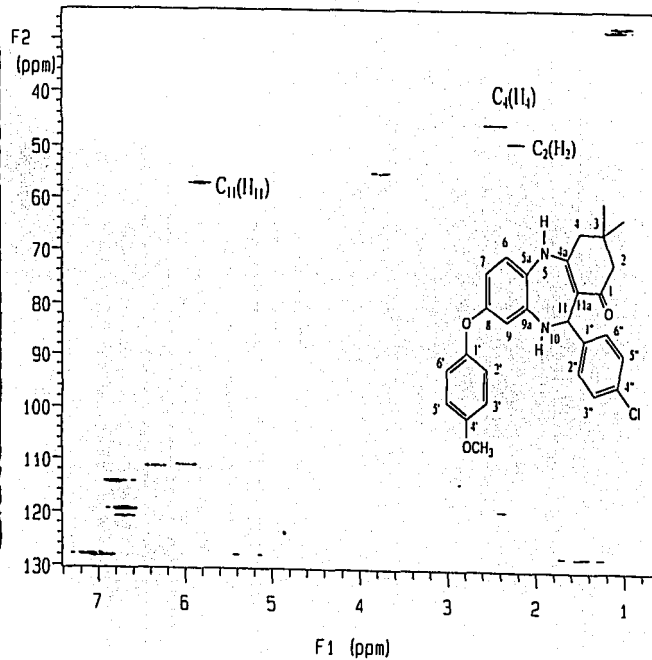
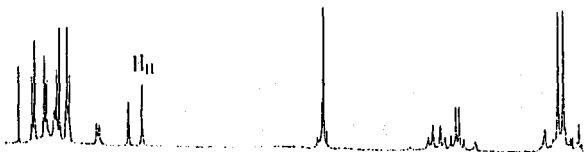
TESIS CON
FALLA DE ORIGEN

Dr.-E-Cortes OG-IV-12 (2) no
Experimento: HETCOR



TESIS CON
FAILA DE ORIGEN

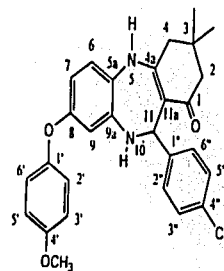
Dr.-E-Cortes OG-IV-1212
Experimento HETCOR



TESIS CON
FAULA DE ORIGEN

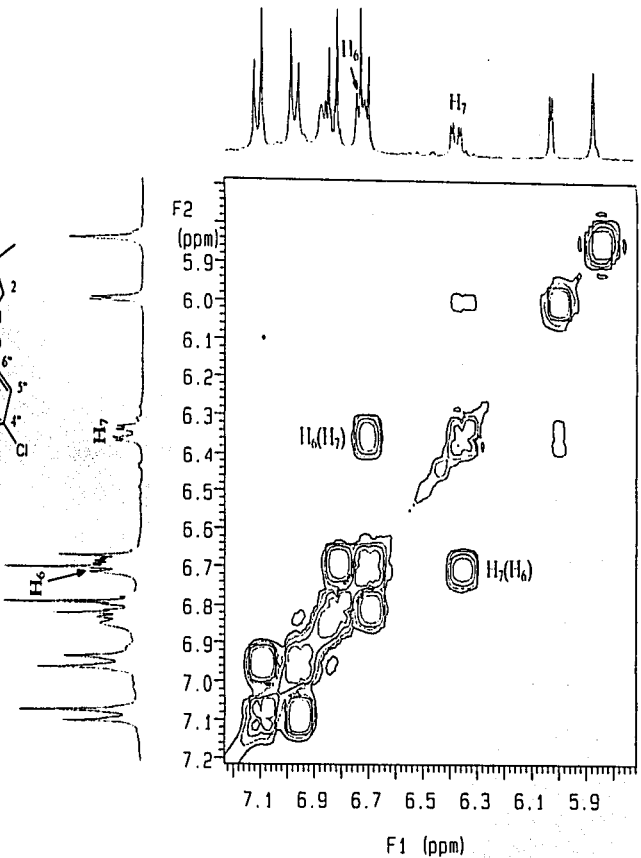
Dr-E-Cortes OG-IV-12(2) hr

Experimento: COSY



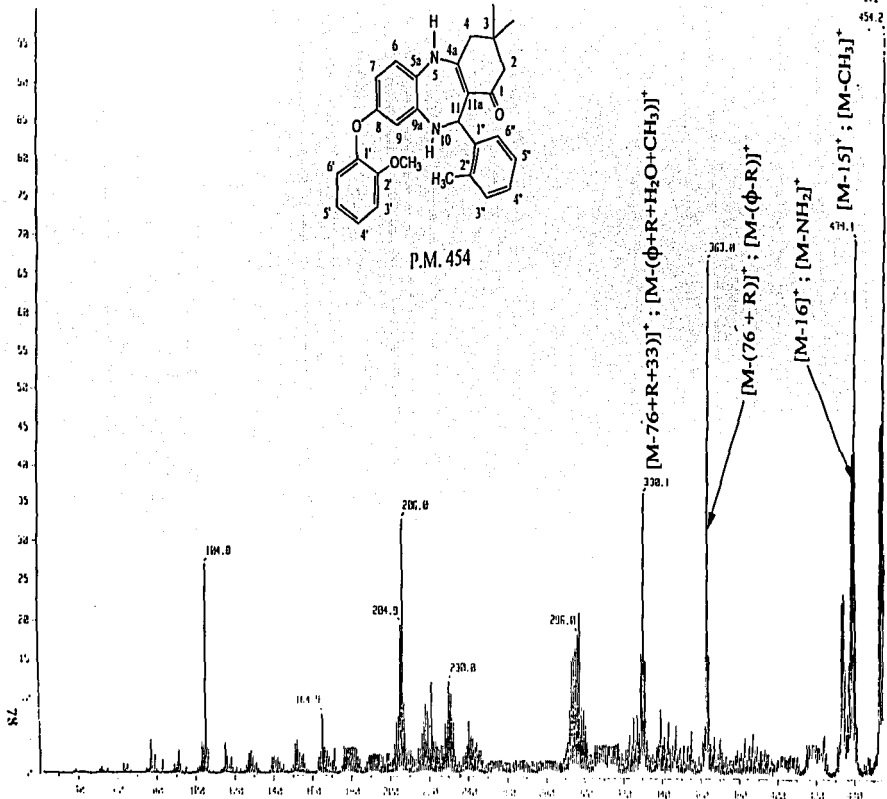
TESIS CON
FALTA DE ORIGEN

77.



Input : Direct Ion Mode : C1
 Detection Type : Product ions, 454.02, 1st FFR, FC: 0.02eV
 m/z = 341.00 Scan : 12.61 Temp : 113.5 deg.C
 b1 = exp 454.0255 Int. : 2.62
 Output m/z range : 22.0282 to 455.3198 Cut level : 0.03 %

17624



**TESIS CON
TALLA DE ORIGEN**

File : 1100000000000000 Date : 01/01/2012 09:43:46

Appl. : 12.1

Base

100.000000

Int. Scale : 1.00

Mass Type : Normal (0.00-100.00)

SL : 1.00 sec

Scans : 100.00-107.00

Temp : 40.0 deg.C

Dr. Int. 300.0000

Int. : 10.21

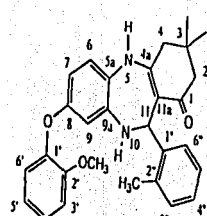
Output size range : 0.4955 to 0.73500

Out Level : 0.00 %

100.000000

IBI

FALLA DE ORIGEN
TESES CON



P.M. 454

79 80 81 82 83 84 85 86 87 88 89 90 91 92 93 94 95 96 97 98 99 100 101 102 103 104 105 106 107 108 109 110 111 112 113 114 115 116 117 118 119 120 121 122 123 124 125 126 127 128 129 130 131 132 133 134 135 136 137 138 139 140 141 142 143 144 145 146 147 148 149 150 151 152 153 154 155 156 157 158 159 160 161 162 163 164 165 166 167 168 169 170 171 172 173 174 175 176 177 178 179 180 181 182 183 184 185 186 187 188 189 190 191 192 193 194 195 196 197 198 199 200 201 202 203 204 205 206 207 208 209 210 211 212 213 214 215 216 217 218 219 220 221 222 223 224 225 226 227 228 229 229 230 231 232 233 234 235 236 237 238 239 240 241 242 243 244 245 246 247 248 249 249 250 251 252 253 254 255 256 257 258 259 259 260 261 262 263 264 265 266 267 268 269 269 270 271 272 273 274 275 276 277 278 278 279 280 281 282 283 284 285 286 287 288 289 289 290 291 292 293 294 295 296 297 297 298 299 299 300 301 302 303 304 305 306 307 308 309 309 310 311 312 313 314 315 316 317 318 319 320 321 322 323 324 325 326 327 328 329 329 330 331 332 333 334 335 336 337 338 339 340 341 342 343 344 345 346 347 348 349 349 350 351 352 353 354 355 356 357 358 359 359 360 361 362 363 364 365 366 367 368 369 369 370 371 372 373 374 375 376 377 378 379 379 380 381 382 383 384 385 386 387 388 389 389 390 391 392 393 394 395 396 397 397 398 399 399 400 401 402 403 404 405 406 407 408 409 409 410 411 412 413 414 415 416 417 418 419 419 420 421 422 423 424 425 426 427 428 429 429 430 431 432 433 434 435 436 437 438 439 439 440 441 442 443 444 445 446 447 448 449 449 450 451 452 453 454 455 456 457 458 459 459 460 461 462 463 464 465 466 467 468 469 469 470 471 472 473 474 475 476 477 478 479 479 480 481 482 483 484 485 486 487 488 489 489 490 491 492 493 494 495 496 497 498 499 499 500 501 502 503 504 505 506 507 508 509 509 510 511 512 513 514 515 516 517 518 519 519 520 521 522 523 524 525 526 527 528 529 529 530 531 532 533 534 535 536 537 538 539 539 540 541 542 543 544 545 546 547 548 549 549 550 551 552 553 554 555 556 557 558 559 559 560 561 562 563 564 565 566 567 568 569 569 570 571 572 573 574 575 576 577 578 579 579 580 581 582 583 584 585 586 587 588 589 589 590 591 592 593 594 595 596 597 598 598 599 599 600 601 602 603 604 605 606 607 608 609 609 610 611 612 613 614 615 616 617 618 619 619 620 621 622 623 624 625 626 627 628 629 629 630 631 632 633 634 635 636 637 638 639 639 640 641 642 643 644 645 646 647 648 649 649 650 651 652 653 654 655 656 657 658 659 659 660 661 662 663 664 665 666 667 668 669 669 670 671 672 673 674 675 676 677 678 679 679 680 681 682 683 684 685 686 687 688 689 689 690 691 692 693 694 695 696 697 698 698 699 699 700 701 702 703 704 705 706 707 708 709 709 710 711 712 713 714 715 716 717 718 719 719 720 721 722 723 724 725 726 727 728 729 729 730 731 732 733 734 735 736 737 738 739 739 740 741 742 743 744 745 746 747 748 749 749 750 751 752 753 754 755 756 757 758 759 759 760 761 762 763 764 765 766 767 768 769 769 770 771 772 773 774 775 776 777 778 779 779 780 781 782 783 784 785 786 787 788 789 789 790 791 792 793 794 795 796 797 798 798 799 799 800 801 802 803 804 805 806 807 808 809 809 810 811 812 813 814 815 816 817 818 819 819 820 821 822 823 824 825 826 827 828 829 829 830 831 832 833 834 835 836 837 838 839 839 840 841 842 843 844 845 846 847 848 849 849 850 851 852 853 854 855 856 857 858 859 859 860 861 862 863 864 865 866 867 868 869 869 870 871 872 873 874 875 876 877 878 879 879 880 881 882 883 884 885 886 887 888 889 889 890 891 892 893 894 895 896 897 898 898 899 899 900 901 902 903 904 905 906 907 908 909 909 910 911 912 913 914 915 916 917 918 919 919 920 921 922 923 924 925 926 927 928 929 929 930 931 932 933 934 935 936 937 938 939 939 940 941 942 943 944 945 946 947 948 949 949 950 951 952 953 954 955 956 957 958 959 959 960 961 962 963 964 965 966 967 968 969 969 970 971 972 973 974 975 976 977 978 979 979 980 981 982 983 984 985 986 987 988 989 989 990 991 992 993 994 995 996 997 998 998 999 999 1000

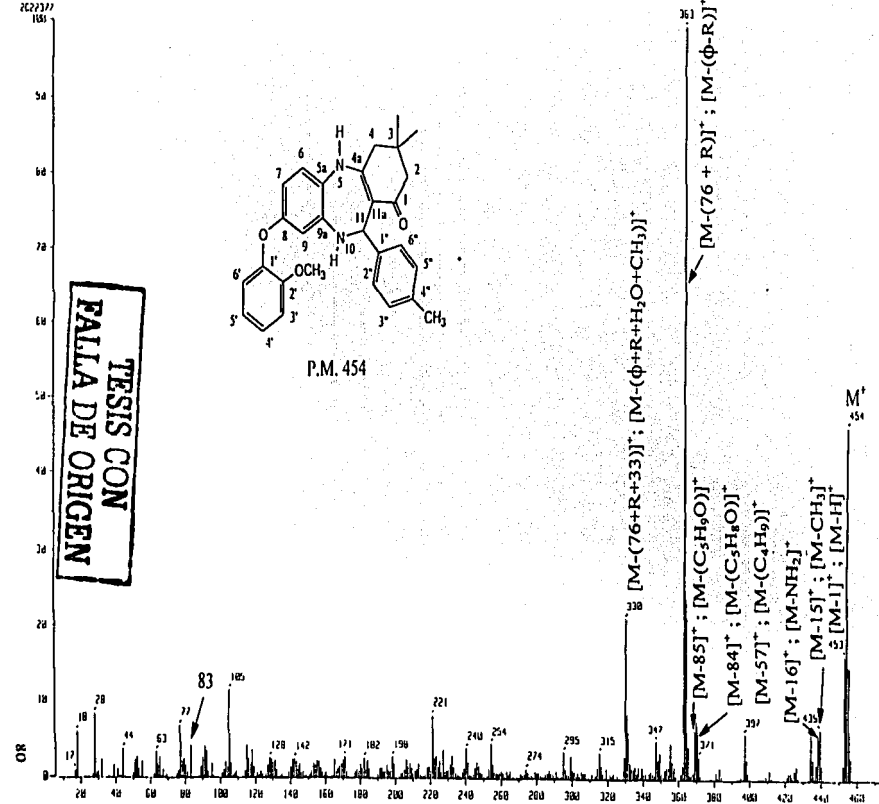
[M-(76+R+33)]⁺ ; [M-(φ+R+H₂O+CH₃)]⁺

353 [M-85]⁺ ; [M-(C₅H₉O)]⁺
[M-84]⁺ ; [M-(C₅H₈O)]⁺
[M-57]⁺ ; [M-C₄H₉]⁺

[M-16]⁺ ; [M-NH₂]⁺
-[M-H]⁺ ; [M-15]⁺ ; [M-CH₃]⁺

M⁺
[M-1]⁺ ; [M-1]⁻

6/16/2018 Dr. Turley Education High Date : 06-Jun-18 00:10



1.7.15. Spectrum 1
Date : 12 Octubre 1970 Date : 18 Sept 1970 24.14
Spectro : 7-19-7-1

Mode : Ion Mode : EI

Spectrum type : Normal Ion (TF-Lines)

M_r : 174 min Scan : 117.600-114.231 Temp : 103.4 deg.C

DP : 100 350 0000 Int. : 150.50

Output rate range : 33.2344 to 436.1424 Cut Level : 0.03 %

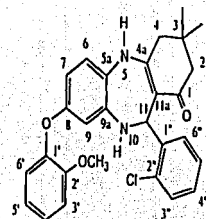
Scans

1000

100

10

1



P.M. 474

FALLA DE ORIGEN
TESIS CON

IR

10

1

83

145

115

127

55

69

77

156

153

198

222

239

241

254

255

282

295

305

313

329

340

350

358

360

362

422

428

430

440

450

460

470

480

490

500

510

520

530

540

550

560

570

580

590

600

610

620

630

640

650

660

670

680

690

700

710

720

730

740

750

760

770

780

790

800

810

820

830

840

850

860

870

880

890

900

910

920

930

940

950

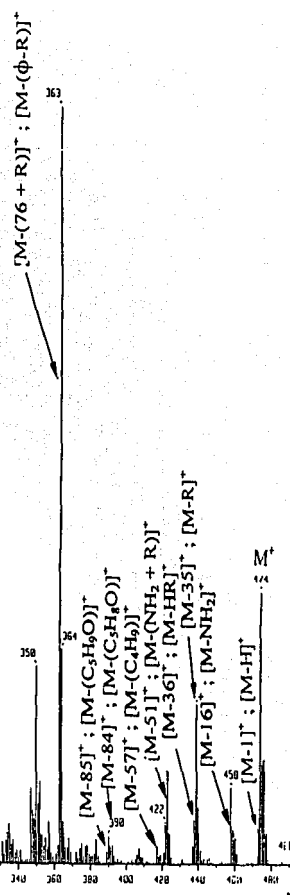
960

970

980

990

1000



Mass Spectrum 1

inst. : Dr. Cortes-Figueroa VCA

Date : 14-Feb-102 18:44

source : GC-(V-GC)

inlet : Rikerto

inlet : Direct

Ion Mode : EI+

carrier type : Normal Ion (MF-Liner)

T : 2.00 min Scan : (12,56)-(34,49)

Temp : 194.6 deg.C

R : ref 363.0333

Int. : 104.59

initial wv range : 8.0220 to 419.7033

Cut Level : 0.000 k

494.2702

363

100

90

80

70

60

50

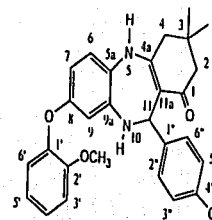
40

30

20

10

0



P.M. 474

ESTA DE
ORIGEN

RI

100

80

60

40

20

0

83
28 44 63 77

116 125 155 170 182 198 216 225 241 254 269 275 296 319 321 331 350 363 398 417 421 431 441 451 461 471 481

[M-(76 + R)]⁺ ; [M-(Φ-R)]⁺

363

[M-85]⁺ ; [M-(C₂H₅O)]⁺

M⁺

[M-84]⁺ ; [M-(C₃H₇O)]⁺

[M-57]⁺ ; [M-(C₂H₅)₂NH]⁺
[M-16]⁺ ; [M-NH₂]⁺
[M-15]⁺ ; [M-CH₃]⁺

[M-81]⁺ ; [M-(C₂H₅)₂N]⁺

350

363

398

417

421

431

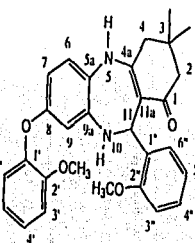
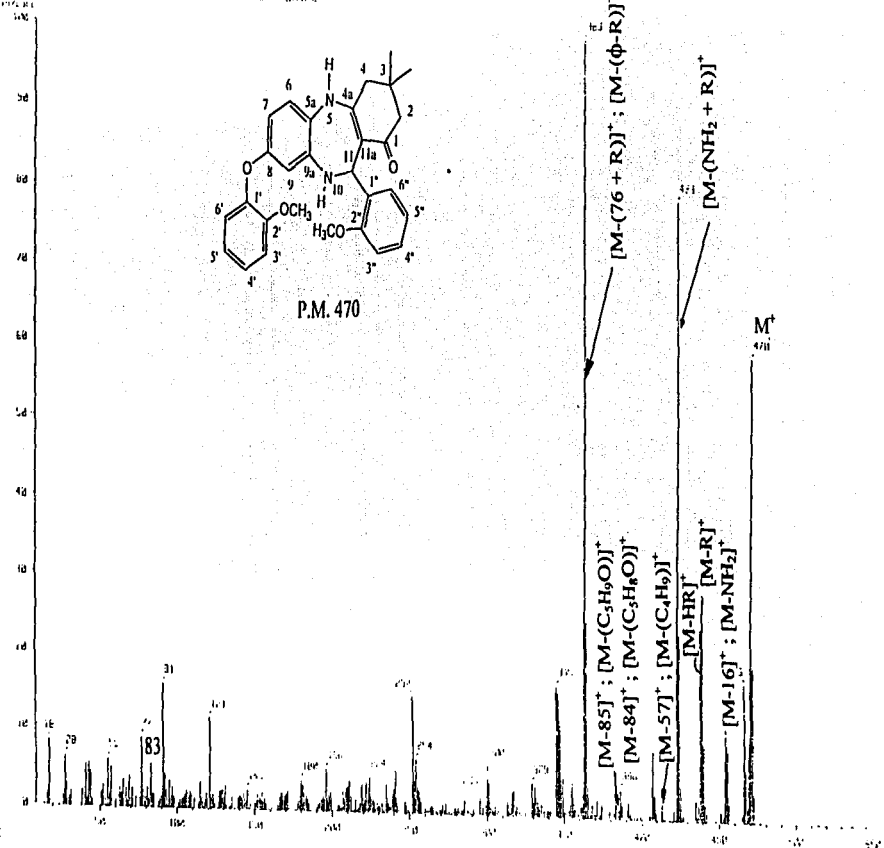
441

451

461

471

481



FALLA DE ORIGEN

Sample Name : 114
 Sample Type : Normal for 15% Liveroil
 RT : 1.50 min. R_{SP} : 126.283 Test δ : 175.2 deg.C
 BP : max 246.0300 Int. : 110.41 Cut Level : 0.00 %
 Output Int. range : 23.00% to 493.5103

126.283

100

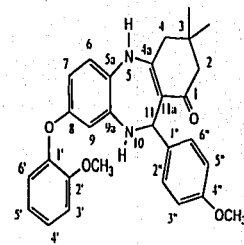
80

60

40

20

0



P.M. 470

M⁺

470

[M-(76 + R)]⁺; [M-(φ-R)]⁺

[M-85]⁺; [M-(C₃H₆O)]⁺
 [M-84]⁺; [M-(C₃H₅O)]⁺

225

[M-57]⁺; [M-(C₄H₉)⁺

397

[M-16]⁺; [M-NH₂]⁺

295

[M-15]⁺; [M-CH₃]⁺

331

310

M⁺

90
80
70
60
50
40
30
20
10
0

40 50 60 70 80 90 100 110 120 130 140 150 160 170 180 190 200 210 220 230 240 250 260 270 280 290 300 310 320 330 340 350 360 370 380 390 400 410 420 430 440 450

1 Mass Spectrum 1
Date : Dr-Cortes-Edwards-029 Date : Bi-Mar-IR2 (8.0)

Sample:

None :

Inlet : Direct

Ion Mode : CI+

Spectrum Type : Normal Ion (M^+ , linear)

ESI : 2.41 m/e

Scint : (53, 100)

Temp : 250.7 deg.C

DP : ret 363.0200

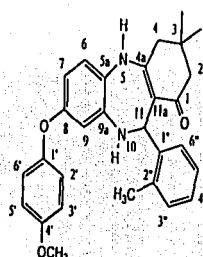
Int. : 100.00

Output m/e range : 11.0634 to 484.2720

Cut Level : 0.00 %

150572

102



P.M. 454

FALLA DE
TESIS CON ORGÉN

95

85

75

65

55

45

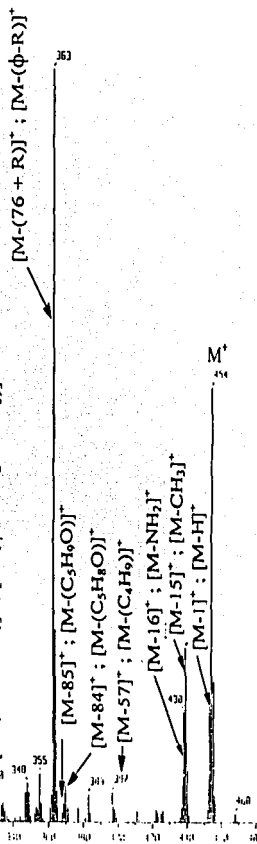
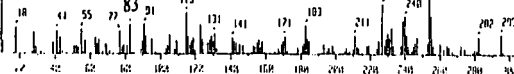
35

25

15

5

0



Date : 18 January 2002 Run : 14794-01 ... C1

Sample: C1_12_10.v

Instrument: Varian

Detector: Direct Ion Probe : 1.0

Spectrum Type : Normal [m/z Linear]

RT : 1.45 min Scan : 145,741-115,251

DP : 100.0000 Int. : 248.84

Output m/z range : 8.0000 to 477.1512 Cut Level : 0.00 %

253955

100

%

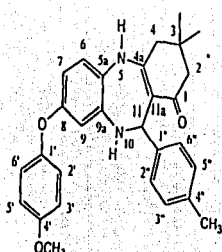
80

60

40

20

0



P.M. 454

FALLA DE ORIGEN
TEISISIS CON

98

80

60

40

20

0

80

60

40

20

0

80

60

40

20

0

80

60

40

20

0

80

60

40

20

0

80

60

40

20

0

80

60

40

20

0

80

60

40

20

0

80

60

40

20

0

80

60

40

20

0

80

60

40

20

0

80

60

40

20

0

80

60

40

20

0

80

60

40

20

0

80

60

40

20

0

80

60

40

20

0

80

60

40

20

0

80

60

40

20

0

80

60

40

20

0

80

60

40

20

0

80

60

40

20

0

80

60

40

20

0

80

60

40

20

0

80

60

40

20

0

80

60

40

20

0

80

60

40

20

0

80

60

40

20

0

80

60

40

20

0

80

60

40

20

0

80

60

40

20

0

80

60

40

20

0

80

60

40

20

0

80

60

40

20

0

80

60

40

20

0

80

60

40

20

0

80

60

40

20

0

80

60

40

20

0

80

60

40

20

0

80

60

40

20

0

80

60

40

20

0

80

60

40

20

0

80

60

40

20

0

80

60

40

20

0

80

60

40

20

0

80

60

40

20

0

80

60

40

20

0

80

60

40

20

0

80

60

40

20

0

80

60

40

20

0

80

60

40

20

0

80

60

40

20

0

80

60

40

20

0

80

60

40

20

0

80

60

40

20

0

80

60

40

20

0

80

60

40

20

0

80

60

40

20

0

80

60

40

20

0

80

60

40

20

0

80

60

40

20

0

80

60

40

20

0

80

60

40

20

0

80

60

40

20

0

80

60

40

20

0

80

60

40

20

0

80

60

40

20

0

</div

Date : Dr. Esteban Gómez de la Torre

Page : 56, 1e 1e 4

Name : Javier Pérez

Title : Guest

Date : 11/19/1984 10:26:00

Ion Mode : EI+

Spectrum Type : Normal Ion (M+H)+

Wt. : 152 min

Scand. : 102.50-131.021

Temp. : 200° 8 deg C

El⁺ : m/z 363.0000

Int. : 253.92

Out Level : 8.00 X

Output Int. range : 0.000 to 589.1988

Out Level : 8.00 X

7/3/86

100

90

80

70

60

50

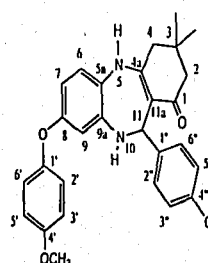
40

30

20

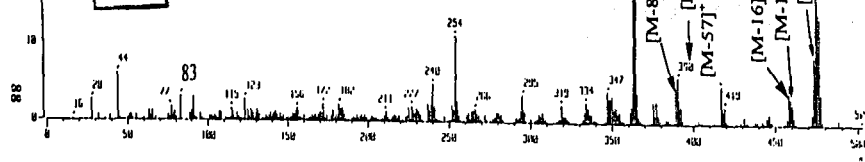
10

0

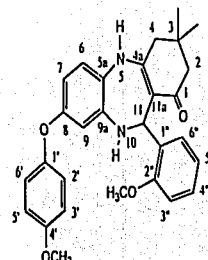


P.M. 474

FAILA DE ORIGEN
TESIS CON

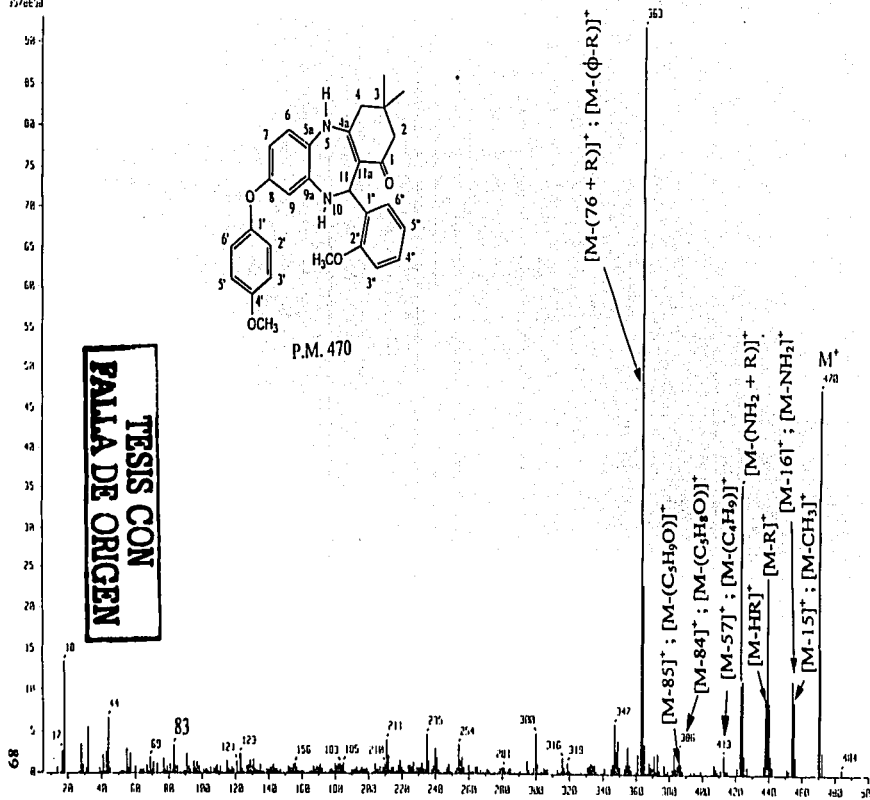


I Mass Spectrum
 File : In-Cores Fumarate(R)
 Date : 12-Nov-1982 13:21
 Sample : C6-H1-R2 (C, 19.15, 1)
 Soln. : Isopropanol
 Det. : Direct Ion Mode : EI+
 Detection Type : Normal Ion (TF-Linera)
 RT = 2.32 min Scan : 144,713 Temp : 320.0 deg.C
 PI = 2220 Int. : 365,75 Cut Level : 0.03 x
 Output m/z range : 2,276.0 to 500.5535
 750000



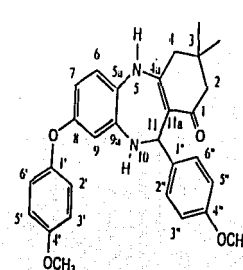
P.M. 470

FAMILIA DE ORGÉEN
TESIS CON



Date : 19-Nov-02 (22.24)
 File : CC-A-22-05-(1)-6-1
 Series : Jester-Perez
 Direct : Direct Ion Mode : EI+
 Detection Type : Normal Ion (M+Laser)
 RT : 5.11 min Start : (32.72)-(5.34) Temp : 287.6 deg.C
 Z : 103.203 Int. : 52.28 Cut Level : 0.02 %
 Scan range : 2.0222 to 494.3522 Cut Level : 0.02 %

(22.82)



P.M. 470

.32

.52

.72

.92

1.12

1.32

1.52

1.72

1.92

2.12

2.32

2.52

2.72

2.92

3.12

3.32

3.52

3.72

3.92

4.12

4.32

4.52

4.72

4.92

5.12

5.32

5.52

5.72

5.92

6.12

6.32

6.52

6.72

6.92

7.12

7.32

7.52

7.72

7.92

8.12

8.32

8.52

8.72

8.92

9.12

9.32

9.52

9.72

9.92

10.12

10.32

10.52

10.72

10.92

11.12

11.32

11.52

11.72

11.92

12.12

12.32

12.52

12.72

12.92

13.12

13.32

13.52

13.72

13.92

14.12

14.32

14.52

14.72

14.92

15.12

15.32

15.52

15.72

15.92

16.12

16.32

16.52

16.72

16.92

17.12

17.32

17.52

17.72

17.92

18.12

18.32

18.52

18.72

18.92

19.12

19.32

19.52

19.72

19.92

20.12

20.32

20.52

20.72

20.92

21.12

21.32

21.52

21.72

21.92

22.12

22.32

22.52

22.72

22.92

23.12

23.32

23.52

23.72

23.92

24.12

24.32

24.52

24.72

24.92

25.12

25.32

25.52

25.72

25.92

26.12

26.32

26.52

26.72

26.92

27.12

27.32

27.52

27.72

27.92

28.12

28.32

28.52

28.72

28.92

29.12

29.32

29.52

29.72

29.92

30.12

30.32

30.52

30.72

30.92

31.12

31.32

31.52

31.72

31.92

32.12

32.32

32.52

32.72

32.92

32.12

32.32

32.52

32.72

32.92

32.12

32.32

32.52

32.72

32.92

32.12

32.32

32.52

32.72

32.92

32.12

32.32

32.52

32.72

32.92

32.12

32.32

32.52

32.72

32.92

32.12

32.32

32.52

32.72

32.92

32.12

32.32

32.52

32.72

32.92

32.12

32.32

32.52

32.72

32.92

32.12

32.32

32.52

32.72

32.92

32.12

32.32

32.52

32.72

32.92

32.12

32.32

32.52

32.72

32.92

32.12

32.32

32.52

32.72

32.92

32.12

32.32

32.52

32.72

32.92

32.12

32.32

32.52

32.72

32.92

32.12

32.32

32.52

32.72

32.92

32.12

32.32

32.52

32.72

32.92

32.12

32.32

32.52

32.72

32.92

32.12

32.32

32.52

32.72

32.92

32.12

32.32

32.52

32.72

32.92

32.12

32.32

32.52

32.72

32.92

32.12

32.32

32.52

32.72

32.92

32.12

32.32

32.52

32.72

32.92

32.12

32.32

32.52

32.72

32.92

32.12

32.32

32.52

32.72

32.92

32.12

32.32

32.52

32.72

32.92

32.12

32.32

32.52

32.72

32.92

APÉNDICE

APT: Attached Proton Test.

CID: Collision Induced Disociation.

COSY: Correlated Spectroscopy.

DEPT: Distortionless Enhancement by Polarisation Transfer.

HETCOR: Heteronuclear Correlation Experiment.

**TESIS CON
FALLA DE ORIGEN**

BIBLIOGRAFÍA

**TESIS CON
FALLA DE ORIGEN**

BIBLIOGRAFÍA

1. LOEBL, Manual de Farmacología, Edit. Limusa, México 1986. Págs. 6, 204-207.
2. STERNBACH, L.H., *J. of Medicinal Chemistry*, **22**, 1-7 (1979).
3. STERNBACH, L.H., REEDER, E., KELLER, O. y METLESICS, W., *J. of Organic Chemistry*, **26**, 4488-4497 (1961).
4. STERNBACH, L.H., FRYER, R. I., METLESICS, W., REEDER, E., SACH, G., SAUCY, G. y STEMPLE A., *J. of Organic Chemistry*, **27**, 3788-3796 (1962).
5. SUNG-SAU SO y KARPLUS, M., *J. of Medicinal Chemistry*, **39**, 5246-5256 (1996).
6. STERNBACH, L.H. y REEDER, E., *J. of Organic Chemistry*, **26**, 4936-4941 (1961).
7. STERNBACH, L.H., FRYER, R.I., METLESICS, W., SACH, G. y STEMPLE, A., *J. of Organic Chemistry*, **27**, 3781-3785 (1962).
8. STERNBACH, L.H., ARCHER, G.A. y REEDER, E., *J. of Organic Chemistry*, **28**, 3013-3016 (1963).
9. ARCHER, G.A. y STERNBACH, L.H., *J. of Organic Chemistry*, **29**, 231-233 (1964).
10. FANG MA, CHYAN E. LAU, *J. of Chromatography B*, **712**, 193-198 (1998).
11. SCHREIBER, S., GETSLEV, V., BACKER, M.M., WEIZMAN, R. y PICK, C.G., *Pharmacology Biochemistry and Behavior*, **64**, 75-80 (1999).
12. www.quik.guate.com/guropoli/neurociencias/bzd-clas.html
13. WILLIAMS, M., *J. of Medicinal Chemistry*, **26**, 619-628 (1983).
14. www.udgv.mx/biomedic/rb98936.htm
15. SURMAN, M. D., MULVIHILL, M. J. y MILLER, M. J., *Organic Letters*, **4**, 139-141 (2002).
16. YALAMATI DAMAYANTHI, PRAVEEN REDDY, B.S. y LOWN, J., *J. of Organic Chemistry*, **64**, 290-292 (1999).

TESIS CON
FALLA DE ORIGEN

17. WILSON, S., HOWARD, P.W., FORROW, S.M., HARTLEY, J.A., ADAMS, L.J., JENKINS, T.C., KELLAND, L.R. y THURSTON, D.E., *J. of Medicinal Chemistry*, **42**, 4028-4041 (1999).
18. ETRIDGE, S. K., HAYES, J. F., WALSGROVE, T. C. y WELLS, A. S., *Organic Process Research & Development*, **3**(1), 60-63 (1999).
19. LITTER, M., Compendio de Farmacología, 3^a Ed., El Ateneo Editorial, Argentina 1986. Págs. 106-109, 117 y 118.
20. DA SETTIMO, A., PRIMOFOIRE, G., DA SETTIMO, F., MARINI, A.M., NOVELLINO, E., GRECO, G., MARTÍN, C., GIANNACCINI, G. y LUCACCHINI, A., *J. of Medicinal Chemistry*, **39**, 5083-5091 (1996).
21. CORTES, E. y SANCHEZ, M. P., *J. of Heterocyclic Chemistry*, **36**, 611-615 (1999).
22. CORTES, E., GARCIA, O. y HERNÁNDEZ, E., *J. of Heterocyclic Chemistry*, **36**, 477-480 (1999).
23. CORTES, E., HERNANDEZ, A. y GARCIA, O., *J. of Heterocyclic Chemistry*, **39**, 55-59 (2002).
24. CORTES, E.C., RODRIGUEZ, E.N., SERRATO, I.S., GARCIA, O., OSORNIO, A.O. y MARTINEZ, A.G., XIV World Congress of Pharmacology, San Francisco California, U.S.A., Julio 2002.
25. FARFAN, F.C., GARCIA, L.M., NARANJO, R.E., CORTES, E.C. y BECERRIL, H.M., XXXIV Congreso Nacional de Ciencias Farmacéuticas, Manzanillo, Colima, Noviembre 2001.
26. HESTER, J.B., RUDZIK, A.D. y KAMDAR, B.V., *J. of Medicinal Chemistry*, **14**, 1078-1081 (1971).
27. COOPER, J.W., Spectroscopic Techniques for Organic Chemists, WILEY-INTERSCIENCE PUBLICATION, U.S.A. 1980. Págs. 11-21, 59 y 60.
28. CREWS, P., RODRÍGUEZ, J. y JASPARS, M., Organic Structure Analysis, Oxford University Press, U.S.A., 1998. Págs. 184-207.

29. SANDERS, J.K.M., HUNTER, B.K., Modern NMR Spectroscopy, Oxford University Press, 2^a Ed., U.S.A. 1986. Págs. 11-23, 98-102.